

Содержание

| | |
|---|-----------|
| Введение | 6 |
| 1 Изучение поставленной задачи с помощью компьютерного моделирования | 8 |
| 1.1 Математическая постановка исходной задачи | 8 |
| 1.2 Некоторые факты из теории дифференциальных уравнений с отклоняющимся аргументом | 8 |
| 1.2.1 Базовые понятия и определения | 8 |
| 1.2.2 Простейшая модель с запаздыванием | 9 |
| 1.2.3 Классификация моделей с отклоняющимся аргументом | 10 |
| 1.2.4 Метод шагов решения уравнений с отклоняющимся аргументом | 12 |
| 1.2.5 Некоторые сведения о решениях линейных уравнений с постоянными коэффициентами и постоянными отклонениями аргумента | 14 |
| 1.3 Переход к исследованию обыкновенных уравнений в частных производных, приближающих исходное уравнение с запаздыванием | 15 |
| 1.4 Исследование устойчивости обыкновенного дифференциального уравнения относительно $T(t)$ | 18 |
| 1.5 Программное вычисление определителей матрицы Гурвица | 20 |
| 2 Аналитическое исследование поставленной задачи | 22 |

| | | |
|----------|---|-----------|
| 2.1 | Теорема о неустойчивости приближений | |
| | старших порядков | 22 |
| 2.2 | Устойчивость решений дифференциального уравнения | |
| | с запаздыванием по времени | 25 |
| 2.3 | Достаточное условие неположительности знаков | |
| | вещественных частей корней характеристического | |
| | уравнения | 27 |
| 3 | Результаты проведённого анализа | 30 |
| 3.1 | Графики решений при $\tau = 0.1$, $k = 1$ | 31 |
| 3.1.1 | Приближение порядка $m = 1$ | 32 |
| 3.1.2 | Приближение порядка $m = 2$ | 33 |
| 3.1.3 | Приближение порядка $m = 3$ | 34 |
| 3.1.4 | Приближение порядка $m = 4$ | 35 |
| 3.1.5 | Приближение порядка $m = 5$ | 36 |
| 3.1.6 | Приближение порядка $m = 6$ | 37 |
| 3.2 | Графики решений при $\tau = 0.1$, $k = 2$ | 38 |
| 3.2.1 | Приближение порядка $m = 1$ | 39 |
| 3.2.2 | Приближение порядка $m = 2$ | 40 |
| 3.2.3 | Приближение порядка $m = 3$ | 41 |
| 3.2.4 | Приближение порядка $m = 4$ | 42 |
| 3.2.5 | Приближение порядка $m = 5$ | 43 |
| 3.2.6 | Приближение порядка $m = 6$ | 44 |
| 3.3 | Промежуточный вывод | 45 |
| 3.4 | Графики решений при $\tau = 0.001$, $k = 39$ | 46 |
| 3.4.1 | Приближение порядка $m = 1$ | 47 |
| 3.4.2 | Приближение порядка $m = 2$ | 48 |
| 3.4.3 | Приближение порядка $m = 3$ | 49 |

| | | |
|-------|---|----|
| 3.4.4 | Приближение порядка $m = 4$ | 50 |
| 3.4.5 | Приближение порядка $m = 5$ | 51 |
| 3.4.6 | Приближение порядка $m = 6$ | 52 |
| 3.5 | Графики решений при $\tau = 0.001$, $k = 40$ | 53 |
| 3.5.1 | Приближение порядка $m = 1$ | 54 |
| 3.5.2 | Приближение порядка $m = 2$ | 55 |
| 3.5.3 | Приближение порядка $m = 3$ | 56 |
| 3.5.4 | Приближение порядка $m = 4$ | 57 |
| 3.5.5 | Приближение порядка $m = 5$ | 58 |
| 3.5.6 | Приближение порядка $m = 6$ | 59 |
| 3.6 | Графики решений при $\tau = 0.001$, $\gamma = \frac{\pi}{2 \cdot 0.001}$ | 60 |
| 3.6.1 | Приближение порядка $m = 1$ | 61 |
| 3.6.2 | Приближение порядка $m = 2$ | 62 |
| 3.6.3 | Приближение порядка $m = 3$ | 63 |
| 3.6.4 | Приближение порядка $m = 4$ | 64 |
| 3.6.5 | Приближение порядка $m = 5$ | 65 |
| 3.6.6 | Приближение порядка $m = 6$ | 66 |

4 Приложение математического

моделирования для исследования

экономических процессов 67

| | | |
|-------|---|----|
| 4.1 | Основное макроэкономическое тождество | 67 |
| 4.2 | Вывод дифференциального уравнения с запаздыванием . . . | 68 |
| 4.3 | Устойчивость уравнения Калецкого | 69 |
| 4.4 | Пояснения | 70 |
| 4.5 | Примеры применения модели для моделирования процессов макроэкономики | 71 |
| 4.5.1 | При $a = 0.95$, $b = 0.12$, $\tau = 1$ | 71 |

| | | |
|--------------------------|---|-----------|
| 4.5.2 | При $a = 0.7$, $b = 0.12$, $\tau = 1$ | 71 |
| 4.6 | Вывод | 72 |
| Заключение | | 73 |
| Список литературы | | 76 |

Введение

Данный дипломный проект посвящен изучению математических моделей теплопроводности с отклоняющимся аргументом.

Впервые теорию дифференциальных уравнений сначала с запаздывающим (а потом и с отклоняющимся) аргументом рассмотрел в А.Д.Мышкис в работе [6]). Другой пионерской работой в исследовании этого вопроса стала [16].

В последствии дифференциальные уравнения с отклоняющимся аргументом (также иногда называемые функционально-дифференциальными) нашли многочисленные приложения в различных вопросах автоматике, в теории колебаний, в ракетной технике, во многих вопросах физики, в некоторых задачах экономических, биологических и медицинских наук. Важность и разнообразие приложений резко повысили интерес к теории этих уравнений. В 60-х годах XX века появилось множество работ по данной тематике: в качестве примеров можно привести монографии Беллмана, Данскина и Гликсберга [13], Беллмана и Данскина [14], Пинни [8], Красовского [5] и др.

Теория дифференциальных уравнений с отклоняющимся аргументом до сих пор находится в стадии становления и интерес к ней по-прежнему не угас. Значимыми работами современности по данной тематике стали [21] и [18].

В данной работе будет исследована устойчивость уравнения локального закона сохранения (Лиувилля) с малым запаздыванием τ :

$$\begin{cases} \rho_t(x, t) + \operatorname{div} \bar{J}(x, t) = f(x, t), \\ \bar{J}(x, t + \tau) = -a^2 \nabla \rho(x, t) + \bar{V}(x, t) \rho(x, t) \end{cases}$$

Цель настоящего исследования – оценить, как небольшое отклонение

по времени влияет на решения и их устойчивость для уравнений теплопроводности с отклоняющимся аргументом, а также сравнить моделей с отклонением и без. Также в данной работе будет приведена необходимая теория и представлены развитые численные методы решений дифференциальных уравнений с отклоняющимся аргументом.

Важным фактом является наличие именно малого запаздывания: в работе будет представлен переход от исходной модели к системе обыкновенных дифференциальных уравнений с малым параметром при старшей производной. Такие уравнения были рассмотрены в статьях Тихонова [9, 10], Васильевой [1], в книге Васильевой и Бутузова [2].

В экономической части работы будет **модель капитализации Калецкого (Kalecki)**[17].

1 Изучение поставленной задачи с помощью компьютерного моделирования

1.1 Математическая постановка исходной задачи

Запишем **общее уравнение непрерывности** в дифференциальной форме:

$$\rho_t(\bar{x}, t) + \operatorname{div} \bar{J}(\bar{x}, t) = f(\bar{x}, t) \quad (1.1.1)$$

Оно представляет собой сильную (локальную) форму закона сохранения и выражает связь между потоком $\bar{J}(\bar{x}, t)$ и концентрацией (температурой) $\rho(\bar{x}, t)$.

Чтобы корректно поставить задачу решения (1.1.1) необходимо дополнить его ещё одним условием – в данной работе оно представлено **законом диффузии с конвекцией** с отклоняющимся аргументом:

$$\bar{J}(\bar{x}, t + \tau) = -a^2 \nabla \rho(\bar{x}, t) + \bar{V}(\bar{x}, t) \rho(\bar{x}, t) \quad (1.1.2)$$

В дальнейшем уравнение (1.1.1) будет классифицировано с точки зрения теории дифференциальных уравнений с отклоняющимся аргументом. Предварительно приведем необходимую для исследования информацию.

1.2 Некоторые факты из теории дифференциальных уравнений с отклоняющимся аргументом

1.2.1 Базовые понятия и определения

Дифференциальными уравнениями с отклоняющимся аргументом называются дифференциальные уравнения, в которые неизвест-

ная функция и её производные входят, вообще говоря, при различных значениях аргумента.

Хотя уравнения с отклоняющимся аргументом по виду очень похожи на обыкновенные дифференциальные уравнения, факт отклонения аргумента усложняет их анализ.

Рассмотрим простейший пример

$$\dot{x}(t) = f(t, x(t), x(t - \tau)), \quad (1.2.1)$$

где τ – положительная константа.

Для начала отметим, что для решения задачи Коши уже недостаточно задать одно начальное условие $x(t_0) = x_0$, ведь необходимо знать исходные значения на всем отрезке $[t_0 - \tau, t_0]$, т.е. задать функцию $x_0(t)$, определенную на отрезке $[t_0 - \tau, t_0]$ – **начальную функцию** (в зарубежной литературе **history function** или **initial function**).

1.2.2 Простейшая модель с запаздыванием

Для примера рассмотрим две задачи Коши: одну для обыкновенного дифференциального уравнения, другую – для уравнения с отклонением по аргументу:

$$\begin{cases} x'(t) = x(t), & t > 0 \\ x(0) = 1 \end{cases} \quad (1.2.2)$$

$$\begin{cases} y'(t) = y(t - 1), & t > 0 \\ y(t) = 1, & -1 \leq t \leq 0 \end{cases} \quad (1.2.3)$$

Методы решения подобных уравнений с запаздыванием будут рассмотрены в работе позже, а пока построим графики этих решений:

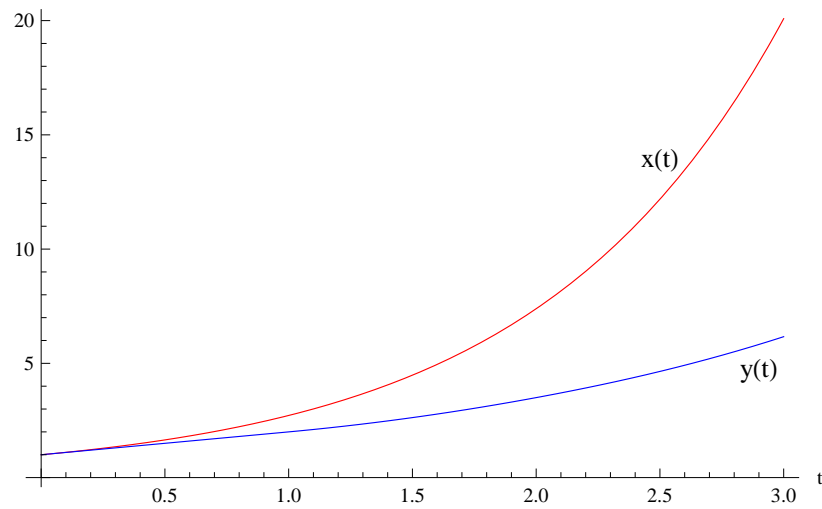


Рис. 1.2.1: Сравнение моделей с запаздыванием и без

Наглядно видно, что решения различны. Позже будет приведено аналитическое решение задачи (1.2.3) и доказано, что $y(t)$ всегда возрастает медленнее экспоненциального решения, т.е. $x(t)$.

Также решение зависит от начальной функции: для примера рассмотрим такую задачу:

$$\begin{cases} y_h'(t) = y_h(t-1), & t > 0 \\ y_h(t) = 1+t, & -1 \leq t \leq 0 \end{cases} \quad (1.2.4)$$

Отметим, что $y_h(0) = y(0) = 1$.

Построим решения на одном графике:

Таким образом, начальная функция определяет характер решения задачи.

1.2.3 Классификация моделей с отклоняющимся аргументом

Рассмотрим обобщенное уравнение n -ого порядка с l отклонениями аргумента (вообще говоря, отклонение может быть непостоянным и зависеть, например, от значений самого аргумента).

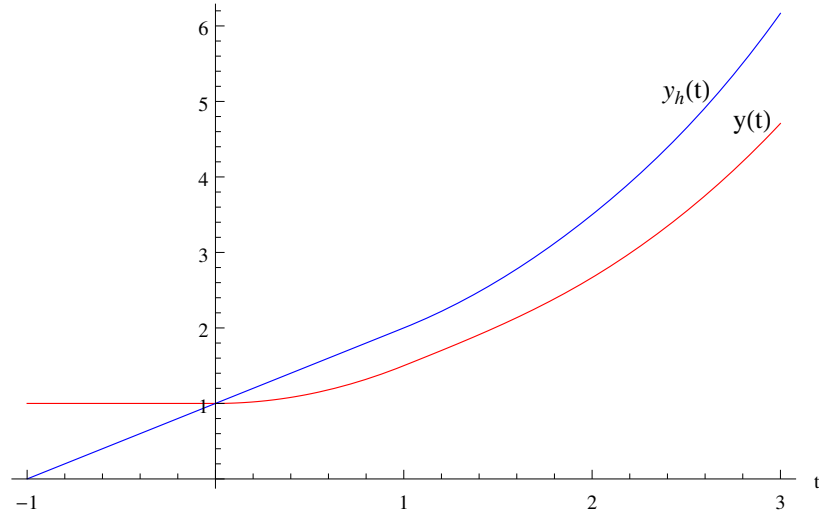


Рис. 1.2.2: Сравнение моделей с различными начальными функциями

$$\begin{aligned} x^{(m_0)}(t) = f(t, x(t), \dots, x^{(m_0-1)}(t), x(t - \tau_1(t)), \dots, \\ \dots, x^{(m_1)}(t - \tau_1(t)), \dots, x(t - \tau_l(t)), \dots, x^{(m_l)}(t - \tau_l(t))) \end{aligned} \quad (1.2.5)$$

Здесь $\tau_i(t) \geq 0$.

Каменским Г.А. была введена естественная классификация (1.2.5). Обозначим $\lambda = m_0 - \max_{1 \leq i \leq l} m_i$.

1. Если $\lambda > 0$, то такое уравнения называется уравнением с **запаздывающим аргументом**;
2. Если $\lambda = 0$, – уравнением **нейтрального типа**;
3. Если $\lambda < 0$, – уравнением **опережающего типа**.

Вернемся к исходной задаче (1.1.1, 1.1.2):

$$\begin{cases} \rho_t(\bar{x}, t) + \operatorname{div} \bar{J}(\bar{x}, t) = f(\bar{x}, t), \\ \bar{J}(\bar{x}, t + \tau) = -a^2 \nabla \rho(\bar{x}, t) + \bar{V}(\bar{x}, t) \rho(\bar{x}, t) \end{cases} \quad (1.2.6)$$

Объединим в одно уравнение относительно $\rho(x, t)$:

$$\rho_t(\bar{x}, t) = -a^2 \Delta \rho(\bar{x}, t - \tau) + \rho(\bar{x}, t - \tau) \operatorname{div} \bar{V}(\bar{x}, t - \tau) + (\bar{V}(\bar{x}, t - \tau), \nabla \rho(\bar{x}, t - \tau)) \quad (1.2.7)$$

Отметим, что дивергенция как дифференциальный оператор была применена по пространственным переменным \bar{x} . Из этого следует, что в левой части (1.2.7) не содержится производных по t и уравнение классифицируется как уравнение с запаздывающим аргументом при $\tau > 0$ и как опережающего типа при $\tau < 0$.

1.2.4 Метод шагов решения уравнений с отклоняющимся аргументом

Метод шагов – естественный метод решения уравнений с отклоняющимся аргументом. Рассмотрим простейший пример:

$$x'(t) = f(t, x(t), x(t - \tau)), \quad \tau > 0 \quad (1.2.8)$$

Поставим задачу Коши для него:

$$\begin{cases} x'(t) = f(t, x(t), x(t - \tau)), & t > 0, \\ x(t) = x_0(t), & -\tau \leq t \leq 0 \end{cases} \quad (1.2.9)$$

Тогда на отрезке $[0, \tau]$:

$$\begin{cases} x'(t) = f(t, x(t), x_0(t - \tau)), & 0 \leq t \leq \tau, \\ x(0) = x_0(0) \end{cases} \quad (1.2.10)$$

Отметим, что (1.2.10) – задача Коши уже для обыкновенного дифференциального уравнения. Предположим, что $x_1(t)$ – ее решение. Тогда на отрезке $[\tau, 2\tau]$:

$$\begin{cases} x'(t) = f(t, x(t), x_1(t - \tau)), & \tau \leq t \leq 2\tau, \\ x(\tau) = x_1(\tau) \end{cases} \quad (1.2.11)$$

Продолжая подобные рассуждения, можно найти решение (1.2.9). Отметим, что решать можно как аналитически, так и численно.

К минусам этого метода можно отнести зависимость от величины отклонения и сложность адаптации к общему случаю зависимости запаздывания от аргумента.

В качестве примера можно рассмотреть уже использованную ранее в работе задачу Коши (1.2.3):

$$\begin{cases} y'(t) = y(t - 1), & t > 0 \\ y(t) = 1, & -1 \leq t \leq 0 \end{cases}$$

Таким образом, на отрезке $[0, 1]$ её решением будет функция

$$y(t) = t + 1, \quad 0 \leq t \leq 1 \quad (1.2.12)$$

На отрезке $[1, 2]$ соответственно:

$$\begin{cases} y'(t) = (t + 1) - 1, & 1 \leq t \leq 2, \\ y(1) = 1 + 1 = 2 \end{cases} \quad (1.2.13)$$

$$y(t) = \frac{t^2}{2} + \frac{3}{4}, \quad 1 \leq t \leq 2 \quad (1.2.14)$$

Продолжая подобные рассуждения, можно построить решение на сколь угодно отдаленном по времени от начального момента отрезке.

Заметим, что на каждом из таких отрезков, решения представлены в виде полинома, а значит возрастают не быстрее решения задачи без запаздывания – экспоненциальной функции.

1.2.5 Некоторые сведения о решениях линейных уравнений с постоянными коэффициентами и постоянными отклонениями аргумента

Рассмотрим линейное однородное уравнение с постоянными коэффициентами и постоянными отклонениями аргумента

$$\sum_{i=0}^n \sum_{j=0}^l a_{ij} x^{(i)}(t - \tau_j) = 0, \quad (1.2.15)$$

где $0 = \tau_0 < \tau_1 < \dots < \tau_m$.

Будем искать его частные решения в виде

$$x(t) = e^{kt}, \quad (1.2.16)$$

где k – постоянная.

Подставив (1.2.16) в (1.2.15), получим характеристическое уравнение для k :

$$\sum_{i=0}^n \sum_{j=0}^l a_{ij} k^i e^{k\tau_j} = 0 \quad (1.2.17)$$

Заметим, что по знакам вещественных частей корней (1.2.17) можно судить об устойчивости соответствующего ему дифференциального уравнения с запаздыванием, как и в случае уравнений без запаздывания. С доказательством данного факта можно ознакомиться, например, в [11].

Теория подобных трансцендентных уравнений изучалась ещё в XVIII веке Ламбертом и Эйлером. Известно, что (1.2.17) имеет бесконечное множество корней в комплексном пространстве.

В честь немецкого математика Ламберта была названа функция $W(z)$, определяемая функциональным уравнением

$$z = W(z)e^{W(z)} \quad (1.2.18)$$

Вообще говоря, $W(z)$ многозначна, но если ограничиться вещественными $z = x \geq -\frac{1}{e}$ и потребовать $W(z) \geq -1$, то получим однозначно определенную функцию, представляющую одну из главных ветвей $W(z)$:

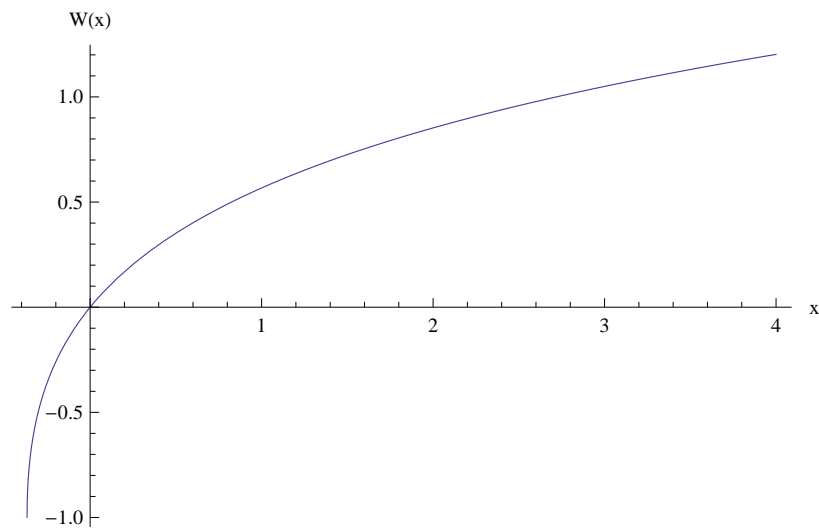


Рис. 1.2.3: График главной ветви $W_0(x)$ решений функции Ламберта

1.3 Переход к исследованию обыкновенных уравнений в частных производных, приближающих исходное уравнение с запаздыванием

Цель дальнейшего исследования – свести исходную задачи к анализу её приближений уравнениями в частных производных.

Напомним, что в работе исследуется задача (1.1.1, 1.1.2):

$$\begin{cases} \rho_t(\bar{x}, t) + \operatorname{div} \bar{J}(\bar{x}, t) = f(\bar{x}, t), \\ \bar{J}(\bar{x}, t + \tau) = -a^2 \nabla \rho(\bar{x}, t) + \bar{V}(\bar{x}, t) \rho(\bar{x}, t) \end{cases} \quad (1.3.1)$$

Разложим левую часть уравнения с запаздыванием в ряд Тэйлора, опустив члены порядка выше m :

$$\bar{J}(\bar{x}, t) + \bar{J}_t(\bar{x}, t)\tau + \dots + \frac{\partial^m \bar{J}}{\partial t^m}(\bar{x}, t) \frac{\tau^m}{m!} = -a^2 \nabla \rho(\bar{x}, t) + \bar{V}(\bar{x}, t) \rho(\bar{x}, t) \quad (1.3.2)$$

$$\sum_{n=0}^m \frac{\partial^n \bar{J}}{\partial t^n}(\bar{x}, t) \frac{\tau^n}{n!} = -a^2 \nabla \rho(\bar{x}, t) + \bar{V}(\bar{x}, t) \rho(\bar{x}, t) \quad (1.3.3)$$

В контексте работы будем называть m **порядком приближения**.

Продифференцировав (1.1.1) n раз, получим:

$$\frac{\partial^{n+1} \rho}{\partial t^{n+1}} + \operatorname{div} \frac{\partial^n \bar{J}}{\partial t^n} = \frac{\partial^n f}{\partial t^n} \quad (1.3.4)$$

Домножив последнее уравнение на $\frac{\tau^n}{n!}$, перепишем его в следующем виде:

$$\operatorname{div} \left(\frac{\partial^n \bar{J}}{\partial t^n} \right) \frac{\tau^n}{n!} = \left(\frac{\partial^n f}{\partial t^n} - \frac{\partial^{n+1} \rho}{\partial t^{n+1}} \right) \frac{\tau^n}{n!} \quad (1.3.5)$$

Из уравнения (1.3.3):

$$\sum_{n=0}^m \operatorname{div} \left(\frac{\partial^n \bar{J}}{\partial t^n} \right) \frac{\tau^n}{n!} = -a^2 \operatorname{div}(\nabla \rho) + \operatorname{div}(\bar{V} \rho) \quad (1.3.6)$$

Подставим (1.3.5):

$$\sum_{n=0}^m \left(\frac{\partial^n f}{\partial t^n} - \frac{\partial^{n+1} \rho}{\partial t^{n+1}} \right) \frac{\tau^n}{n!} = -a^2 \Delta \rho + \rho \operatorname{div} \bar{V} + (\bar{V}, \nabla \rho) \quad (1.3.7)$$

$$\sum_{n=0}^m \frac{\partial^{n+1} \rho}{\partial t^{n+1}} \frac{\tau^n}{n!} - a^2 \Delta \rho + \rho \operatorname{div} \bar{V} + (\bar{V}, \nabla \rho) = \sum_{n=0}^m \frac{\partial^n f}{\partial t^n} \frac{\tau^n}{n!} \quad (1.3.8)$$

Рассмотрим одномерный случай:

$$\sum_{n=0}^m \frac{\partial^{n+1} \rho}{\partial t^{n+1}} \frac{\tau^n}{n!} - a^2 \frac{\partial^2 \rho}{\partial x^2} + \rho \frac{\partial V}{\partial x} + V \frac{\partial \rho}{\partial x} = \sum_{n=0}^m \frac{\partial^n f}{\partial t^n} \frac{\tau^n}{n!} = g(x, t) \quad (1.3.9)$$

Для простоты примем $g = 0$ и $V = \text{const}$:

$$\sum_{n=0}^m \frac{\partial^{n+1} \rho}{\partial t^{n+1}} \frac{\tau^n}{n!} - a^2 \frac{\partial^2 \rho}{\partial x^2} + V \frac{\partial \rho}{\partial x} = 0 \quad (1.3.10)$$

Заменяем неизвестную функцию следующим образом:

$$\rho(x, t) = e^{\xi x} u(x, t) \quad (1.3.11)$$

Тогда

$$\rho_x = e^{\xi x} (u_x + \xi u) \quad (1.3.12)$$

$$\rho_{xx} = e^{\xi x} (u_{xx} + 2\xi u_x + \xi^2 u) \quad (1.3.13)$$

$$-a^2 \rho_{xx} + V \rho_x = e^{\xi x} [-a^2 (u_{xx} + 2\xi u_x + \xi^2 u) + V (u_x + \xi u)] = \quad (1.3.14)$$

$$= e^{\xi x} [-a^2 u_{xx} + (-2a^2 \xi + V) u_x + (-a^2 \xi^2 + V \xi) u] = \quad (1.3.15)$$

$$= e^{\xi x} \left[-a^2 u_{xx} + \frac{V^2}{4a^2} u \right] \quad (1.3.16)$$

при $\xi = \frac{V}{2a^2}$ (т.е. коэффициент при u_x равен 0).

Наконец, получим уравнение, для которого будем исследовать устойчивость его решений:

$$\sum_{n=0}^m \frac{\partial^{n+1} u}{\partial t^{n+1}} \frac{\tau^n}{n!} - a^2 \frac{\partial^2 u}{\partial x^2} + \frac{V^2}{4a^2} u = 0 \quad (1.3.17)$$

Для уравнения (1.3.17) применим **метод Фурье разделения переменных**:

$$u(x, t) = \sum_{k=1}^{\infty} X(x)T(t) \quad (1.3.18)$$

Получим:

$$\sum_{n=0}^m \frac{\tau^n}{n!} T^{(n+1)} X + \frac{V^2}{4a^2} T X = a^2 T X'', \quad k = 1, \dots, \infty \quad (1.3.19)$$

$$\frac{\sum_{n=0}^m \frac{\tau^n}{n!} T^{(n+1)} + \frac{V^2}{4a^2} T}{a^2 T} = \frac{X''}{X} = -\lambda = -k^2 \quad (1.3.20)$$

$$\left\{ \begin{array}{l} \sum_{n=0}^m \frac{\tau^n}{n!} T^{(n+1)} + \underbrace{\left(\frac{V^2}{4a^2} + a^2 k^2 \right)}_{\gamma(k^2)} T = 0 \\ X'' + k^2 X = 0 \end{array} \right. \quad (1.3.21)$$

Как видно, малый параметр входит только в уравнение относительно $T(t)$.

Дальнейшей целью настоящего исследования станет вопрос об устойчивости нулевого решения

$$\sum_{n=0}^m \frac{\tau^n}{n!} T^{(n+1)} + \underbrace{\left(\frac{V^2}{4a^2} + a^2 k^2 \right)}_{\gamma(k^2)} T = 0 \quad (1.3.22)$$

при различных m .

1.4 Исследование устойчивости обыкновенного дифференциального уравнения относительно $T(t)$

Напомним, что в данном пункте исследуется уравнение (1.3.22)

$$\sum_{n=0}^m \frac{\tau^n}{n!} T^{(n+1)} + \underbrace{\left(\frac{V^2}{4a^2} + a^2 k^2 \right)}_{\gamma(k^2)} T = 0$$

Выпишем характеристическое уравнение:

$$\sum_{n=0}^m \frac{\tau^n}{n!} \lambda^{n+1} + \gamma(k^2) = 0$$

Согласно общей теории, для алгебраического уравнения

$$a_0 x^n + a_1 x^{n-1} + \dots + a_{n-1} x + a_n = 0, \quad a \neq 0 \quad (1.4.1)$$

выполнена

Теорема Рауса - Гурвица. Число корней с положительной частью действительного алгебраического уравнения (1.4.1) равно числу перемен знака в любой из последовательностей

$$\Delta_0, \Delta_1, \frac{\Delta_2}{\Delta_1}, \dots, \frac{\Delta_n}{\Delta_{n-1}} \quad (1.4.2)$$

или

$$\Delta_0, \Delta_1, \Delta_1 \Delta_2, \Delta_2 \Delta_3, \dots, \Delta_{n-2} \Delta_{n-1}, a_n, \quad (1.4.3)$$

где

$$\Delta_0 = a_0 > 0, \quad \Delta_1 = a_1, \quad \Delta_2 = \begin{pmatrix} a_1 & a_0 \\ a_3 & a_2 \end{pmatrix},$$

$$\Delta_3 = \begin{pmatrix} a_1 & a_0 & 0 \\ a_3 & a_2 & a_1 \\ a_5 & a_4 & a_3 \end{pmatrix}, \quad \Delta_4 = \begin{pmatrix} a_1 & a_0 & 0 & 0 \\ a_3 & a_2 & a_1 & a_0 \\ a_5 & a_4 & a_3 & a_2 \\ a_7 & a_6 & a_5 & a_4 \end{pmatrix}, \dots$$

К р и т е р и й Р а у с а - Г у р в и ц а. Для того, чтобы все корни действительного уравнения (1.4.1) имели отрицательные действительные части необходимо и достаточно, чтобы выполнялись неравенства:

$$\Delta_0 > 0, \Delta_1 > 0, \dots, \Delta_n > 0$$

Отметим, что согласно построению, можем считать $\gamma(k^2) \sim k^2$ неограниченным, а $\tau > 0$ фиксированным.

Таким образом, задача об устойчивости решений дифференциального уравнения относительно $T(t)$ сводится к нахождению определителей матриц Гурвица для различных m .

1.5 Программное вычисление определителей матрицы Гурвица

В настоящей работе была реализована программа для символьного вычисления определителей матрицы Гурвица для уравнения (1.3.22):

$$\sum_{n=0}^m \frac{\tau^n}{n!} T^{(n+1)} + \underbrace{\left(\frac{V^2}{4a^2} + a^2 k^2 \right)}_{\gamma(k^2)} T = 0$$

Ниже представлены результаты работы программы для различных порядков приближения $m = 1, \dots, 7$:

при $m = 1$: $\Delta_1 = 1 > 0$, $\Delta_1 = \gamma > 0$

при $m = 2$: $\Delta_1 = \tau$, $\Delta_2 = \tau(1 - 0.5\gamma\tau) < 0$, $\Delta_3 = \gamma\tau(1 - 0.5\gamma\tau) < 0$

при $m = 3$: $\Delta_1 = 0.5\tau^2$, $\Delta_2 = 0.3334\tau^3$, $\Delta_3 = \tau^3(0.3334 - 0.25\gamma\tau) < 0$,
 $\Delta_4 = \gamma\tau^3(0.3334 - 0.25\gamma\tau) < 0$

при $m = 4$: $\Delta_1 = 0.167\tau^3$, $\Delta_2 = 0.041\tau^5$, $\Delta_3 = \tau^6(0.007\gamma\tau + 0.014)$,
 $\Delta_4 = \tau^6(-0.0017\gamma^2\tau^2 - 0.007\gamma\tau + 0.014) < 0$,
 $\Delta_5 = \gamma\tau^6(-0.0017\gamma^2\tau^2 - 0.0071\gamma\tau + 0.0139)$

при $m = 5$: $\Delta_1 = 0.042\tau^4$, $\Delta_2 = 0.003\tau^7$, $\Delta_3 = 0$, $\Delta_4 = \tau^{10}(0.0001\gamma\tau - 0.0002)$, $\Delta_5 = \tau^{10}(-0.0001\gamma^2\tau^2 + 0.0002\gamma\tau - 0.0002) < 0, \dots$

при $m = 6$: $\Delta_1 = 0.0083\tau^5$, $\Delta_2 = 0.0001\tau^9$, $\Delta_3 = -3.858^{-6}\tau^{12} < 0, \dots$

при $m = 7$: $\Delta_1 = 0.0014\tau^6$, $\Delta_2 = 3.307^{-6}\tau^{11}$, $\Delta_3 = -4.593^{-8}\tau^{15} < 0, \dots$

Построим график Δ_3 для всех m , в которых в выражение для него не входит $\gamma(k^2)$:

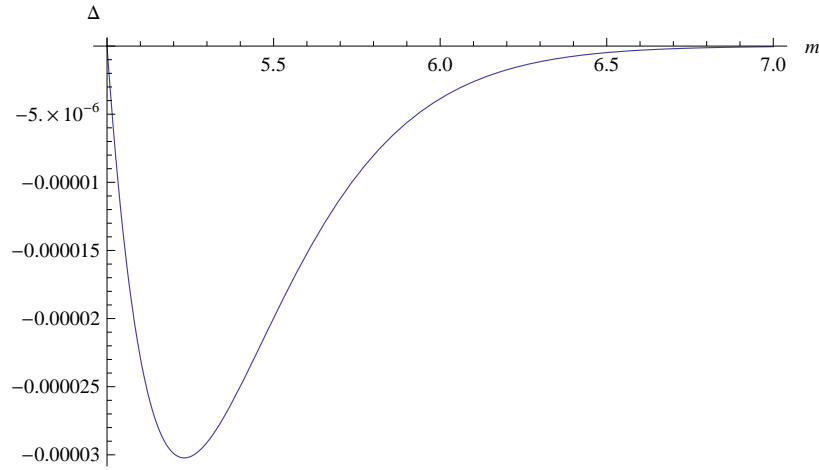


Рис. 1.5.1: График для Δ_3 при $5 \leq m \leq 7$

Таким образом, можно сделать вывод, что для любого m , начиная с 6, хотя бы один из определителей матрицы Гурвица для (1.3.22) отрицателен. Так как, $T_0 = a_0 = \frac{\tau^m}{m!} > 0$ для $\tau > 0$. В аналитической части работы данный факт будет аналитически доказан, а также будет доказана теорема о неустойчивости всех приближений (1.3.22) кроме первого.

2 Аналитическое исследование поставленной задачи

2.1 Теорема о неустойчивости приближений старших порядков

Напомним, что в настоящей работе исследуется задача

$$\begin{cases} \rho_t(\bar{x}, t) + \operatorname{div} \bar{J}(\bar{x}, t) = f(\bar{x}, t), \\ \bar{J}(\bar{x}, t + \tau) = -a^2 \nabla \rho(\bar{x}, t) + \bar{V}(\bar{x}, t) \rho(\bar{x}, t) \end{cases} \quad (2.1.1)$$

Для нее в условиях

1. одномерной задачи,
2. $\rho(x, t) = e^{\frac{V}{2a^2}x} u(x, t)$,
3. $\sum_{n=0}^m \frac{\partial^n f}{\partial t^n} \frac{\tau^n}{n!} = g(x, t) \equiv 0 \Leftarrow f(x, t) \equiv 0$,
4. $V = \text{const}$

были построены приближения

$$\sum_{n=0}^m \frac{\partial^{n+1} u}{\partial t^{n+1}} \frac{\tau^n}{n!} - a^2 \frac{\partial^2 u}{\partial x^2} + \frac{V^2}{4a^2} u = 0, \quad (2.1.2)$$

решения которых устойчивы при устойчивости решений обыкновенного дифференциального уравнения

$$\sum_{n=0}^m \frac{\tau^n}{n!} T^{(n+1)} + \underbrace{\left(\frac{V^2}{4a^2} + a^2 k^2 \right)}_{\gamma(k^2)} T = 0 \quad (2.1.3)$$

и неустойчивы в противном случае.

При анализе результатов моделирования было выдвинуто предположение о неустойчивости всех приближений, начиная с $m = 6$.

**Т е о р е м а о н е у с т о й ч и в о с т и п р и б л и ж е н и й
с т а р ш и х п о р я д к о в.**

1. Приближения (2.1.2) задачи с запаздыванием (2.1) всех порядков кроме $m = 1$ неустойчивы в предположении постоянного запаздывания $\tau > 0$, начиная с некоторого номера k^* .
2. Приближения (2.1.2) задачи с запаздыванием (2.1) всех порядков кроме $m = 1$ неустойчивы при любых значениях параметров.

Для доказательства теоремы сначала докажем следующее утверждение:

У т в е р ж д е н и е. $\Delta_3 < 0$ при $m \geq 6$.

Выпишем общий вид определителя матрицы Гурвица при $k = 3$:

$$\Delta_3 = \begin{vmatrix} \frac{\tau^{m-1}}{(m-1)!} & \frac{\tau^m}{m!} & 0 \\ \frac{\tau^{m-3}}{(m-3)!} & \frac{\tau^{m-2}}{(m-2)!} & \frac{\tau^{m-1}}{(m-1)!} \\ \frac{\tau^{m-5}}{(m-5)!} & \frac{\tau^{m-4}}{(m-4)!} & \frac{\tau^{m-3}}{(m-3)!} \end{vmatrix} = \frac{\tau^{m-1}}{(m-1)!} \begin{vmatrix} \frac{\tau^{m-2}}{(m-2)!} & \frac{\tau^{m-1}}{(m-1)!} \\ \frac{\tau^{m-4}}{(m-4)!} & \frac{\tau^{m-3}}{(m-3)!} \end{vmatrix} - \frac{\tau^m}{m!} \begin{vmatrix} \frac{\tau^{m-3}}{(m-3)!} & \frac{\tau^{m-1}}{(m-1)!} \\ \frac{\tau^{m-5}}{(m-5)!} & \frac{\tau^{m-3}}{(m-3)!} \end{vmatrix}$$

$$\Delta_3 = \frac{\tau^{m-1}}{(m-1)!} \frac{\tau^{m-2}}{(m-2)!} \frac{\tau^{m-4}}{(m-4)!} \begin{vmatrix} 1 & \frac{\tau}{m-1} \\ 1 & \frac{\tau}{m-3} \end{vmatrix} - \frac{\tau^m}{m!} \frac{\tau^{m-3}}{(m-3)!} \frac{\tau^{m-5}}{(m-5)!} \begin{vmatrix} 1 & \frac{\tau^2}{(m-2)(m-1)} \\ 1 & \frac{\tau^2}{(m-4)(m-3)} \end{vmatrix}$$

$$\Delta_3 = \frac{\tau^{3m-7}}{(m-1)!(m-2)!(m-4)!} \left(\frac{\tau}{m-3} - \frac{\tau}{m-1} \right) - \frac{\tau^{3m-8}}{m!(m-3)!(m-5)!} \left(\frac{\tau^2}{(m-4)(m-3)} - \frac{\tau^2}{(m-2)(m-1)} \right)$$

$$\Delta_3 = \tau^{3m-6} \left(\frac{(m-1) - (m-3)}{(m-1)!(m-2)!(m-4)!(m-3)(m-1)} - \frac{(m-2)(m-1) - (m-4)(m-3)}{m!(m-3)!(m-5)!(m-4)(m-3)(m-2)(m-1)} \right)$$

$$\begin{aligned} \Delta_3 &= \frac{\tau^{3m-6}}{m!(m-1)!(m-3)!} (2m - (-3m + 2 + 7m - 12)) = \\ &= \frac{\tau^{3m-6}}{m!(m-1)!(m-3)!} (10 - 2m) < 0 \end{aligned}$$

при $m \geq 6$.

Таким образом, осталось доказать неустойчивость нулевого решения (2.1.3) при $1 \leq m \leq 5$ в предположениях достаточно больших значений $\gamma(k^2)$ и ограниченности τ .

при $m = 1$: $\Delta_1 = 1 > 0$, $\Delta_1 = \gamma > 0$

при $m = 2$: $\Delta_1 = \tau > 0$, $\Delta_2 = \tau(1 - \frac{1}{2}\gamma\tau) < 0$, $\Delta_3 = \gamma\tau(1 - \frac{1}{2}\gamma\tau) < 0$

при $m = 3$: $\Delta_1 = \frac{1}{2}\tau^2 > 0$, $\Delta_2 = \frac{1}{3}\tau^3 > 0$, $\Delta_3 = \tau^3(\frac{1}{3} - \frac{1}{4}\gamma\tau) < 0$,
 $\Delta_4 = \gamma\tau^3(\frac{1}{3} - \frac{1}{4}\gamma\tau) < 0$

при $m = 4$: $\Delta_1 = \frac{1}{6}\tau^3 > 0$, $\Delta_2 = \frac{1}{24}\tau^5 > 0$, $\Delta_3 = \frac{1}{144}\tau^6(2 + \gamma\tau) > 0$,
 $\Delta_4 = \frac{1}{576}\tau^6(8 - 4\gamma\tau - \gamma^2\tau^2) < 0$, $\Delta_5 = \frac{1}{576}\gamma\tau^6(8 - 4\gamma\tau - \gamma^2\tau^2) < 0$

при $m = 5$: $\Delta_1 = \frac{1}{24}\tau^4 > 0$, $\Delta_2 = \frac{1}{360}\tau^7 > 0$, $\Delta_3 = 0$,
 $\Delta_4 = \frac{1}{14400}\tau^{10}(\frac{8}{3} + \frac{5}{3}\gamma\tau) > 0$, $\Delta_5 = \frac{1}{14400}\tau^{10}(-\frac{8}{3} + \frac{10}{3}\gamma\tau - \frac{25}{24}\gamma^2\tau^2) < 0$,
 $\Delta_6 = \frac{1}{14400}\gamma\tau^{10}(-\frac{8}{3} + \frac{10}{3}\gamma\tau - \frac{25}{24}\gamma^2\tau^2) < 0$

Теорема доказана.

Таким образом, для всех приближений кроме первого нарушается условие непрерывной зависимости решений от начальных данных в силу их неустойчивости, т.е. сами приближения – некорректно поставленные по Адамару задачи.

2.2 Устойчивость решений дифференциального уравнения с запаздыванием по времени

Напомним, что предварительно было получен общий вид уравнения с запаздыванием (1.2.7) для исходной задачи:

$$\rho_t(\bar{x}, t) = -a^2 \Delta \rho(\bar{x}, t - \tau) + \rho(\bar{x}, t - \tau) \operatorname{div} \bar{V}(\bar{x}, t - \tau) + (\bar{V}(\bar{x}, t - \tau), \nabla \rho(\bar{x}, t - \tau))$$

В тех же условиях, для которых были получены приближения для него (они перечислены, например, в начале пункта [2.1]), можно вывести следующее:

$$\rho_t(x, t) - a^2 \rho_{xx}(x, t - \tau) + V \rho_x(x, t - \tau) = 0 \quad (2.2.1)$$

Так как подобный вывод уже был произведен в пункте [1.3], опустим подробности и получим:

$$u_t(x, t) - a^2 u_{xx}(x, t - \tau) + \frac{V^2}{4a^2} u(x, t - \tau) = 0 \quad (2.2.2)$$

Уравнение (2.2.2) – **уравнение реакции-диффузии с запаздыванием по времени.**

Отметим, что в недавней работе [20] было построено аналитическое решение похожей задачи

$$u_t(x, t) - a^2 u_{xx}(x, t) + \frac{V^2}{4a^2} u(x, t - \tau) = 0 \quad (2.2.3)$$

Для (2.2.2) применим метод Фурье разделения переменных:

$$u(x, t) = \sum_{k=1}^{\infty} X_k(x) T_k(t) \quad (2.2.4)$$

Отметим, что, вообще говоря, метод Фурье неприменим к любому дифференциальному уравнению с запаздыванием (даже линейному), но в данном случае с его помощью можно получить такие результаты:

$$X(x) T'(t) + \frac{V^2}{4a^2} X(x) T(t - \tau) = a^2 X''(x) T(t - \tau), \quad k = 1, \dots, \infty \quad (2.2.5)$$

$$\frac{T'(t) + \frac{V^2}{4a^2} T(t - \tau)}{a^2 T(t - \tau)} = \frac{X''(x)}{X(x)} = -\lambda = -k^2 \quad (2.2.6)$$

Наконец, получим:

$$\begin{cases} T'(t) + \underbrace{\left(\frac{V^2}{4a^2} + a^2 k^2 \right)}_{\gamma(k^2)} T(t - \tau) = 0 \\ X'' + k^2 X = 0 \end{cases} \quad (2.2.7)$$

Поставим задачу Коши с постоянной начальной функцией для уравнения относительно $T(t)$:

$$\begin{cases} T'_k(t) + \underbrace{\left(\frac{V^2}{4a^2} + a^2 k^2 \right)}_{\gamma(k^2)} T_k(t - \tau) = 0, & t > 0, \\ T_k(t) = T_k^0, & -\tau \leq t \leq 0. \end{cases} \quad (2.2.8)$$

Отметим, что если в нем совершить формальный временной сдвиг на τ и применить уже используемое в настоящей работе разложение

$$T(t + \tau) = T(t) + \tau T'(t) + \dots + \frac{\tau^n}{n!} T^{(n)}(t) + \dots, \quad (2.2.9)$$

то получим исходные приближения (2.1.2), для которых уже был исследован вопрос устойчивости.

Для решений уравнения из задачи (2.2.8) справедливо характеристическое уравнение

$$\lambda_k + \gamma(k^2)e^{-\lambda_k\tau} = 0 \quad (2.2.10)$$

Устойчивость (2.1.2) зависит от знаков вещественных частей $Re(\lambda_k)$.

2.3 Достаточное условие неположительности знаков вещественных частей корней характеристического уравнения

Напомним, что задача свелась к поиску параметров таких, что все вещественные части корней характеристического уравнения

$$\phi(z) = z + \gamma e^{-z\tau} \quad (2.3.1)$$

отрицательны.

Приведем вспомогательную теорему:

Т е о р е м а Р у ш е Если комплекснозначные функции $f(z)$ и $g(z)$ голоморфны в односвязной области G , а на её границе δG выполняется неравенство $|g(z)| < |f(z)|$, то $f(z)$ и $(f + g)(z)$ имеют одинаковое число нулей с учетом кратности.

Данную теорему используем в доказательстве следующего факта:

Достаточное условие отсутствия корней с положительными вещественными частями характеристического уравнения $\phi(z) = z + \gamma e^{-z\tau}$.

$$\phi(z) = z + \gamma e^{-z\tau}$$

не имеет корней положительными вещественными частями при $\gamma\tau < 1$.

Для доказательства этого факта представим $\phi(z)$ в следующем виде:

$$\phi(z) = \underbrace{z + \gamma}_{H_1(z)} + \underbrace{z\gamma\tau \left(\frac{e^{-z\tau} - 1}{z\tau} \right)}_{H_2(z)} = 0 \quad (2.3.2)$$

Рассмотрим функции $H_1(z)$ и $H_2(z)$ в области $D = \{z | \operatorname{Re}(z) \geq 0\}$. Её границей будет ось чисто мнимых чисел $\delta D = \{z | \operatorname{Re}(z) = 0\}$.

Отметим, что $H_1(z) > 0$ в открытой области $D - \delta D$ при любом z .

Представим $z = x + iy$ и рассмотрим $H_1(z)$ и $H_2(z)$ в области δD (т.е. $z = iy$):

$$|H_1(iy)| = \sqrt{\gamma^2 + y^2} > |y| = |z| \quad (2.3.3)$$

Представим $H_2(z)$:

$$H_2(z) = z\gamma\tau \underbrace{\left(\frac{e^{-z\tau} - 1}{z\tau} \right)}_{h(z)} \quad (2.3.4)$$

$$h(iy) = \frac{\cos(y\tau) - i\sin(y\tau) - 1}{iy\tau} = -\frac{\sin(y\tau)}{y\tau} - i\frac{\cos(y\tau) - 1}{y\tau} \quad (2.3.5)$$

Обозначим $\alpha = y\tau$

$$|h(iy)|^2 = \frac{\sin^2(\alpha)}{\alpha^2} + \frac{(\cos(\alpha) - 1)^2}{\alpha^2} = \frac{2 - 2\cos(\alpha)}{\alpha^2} \leq 1 \quad (2.3.6)$$

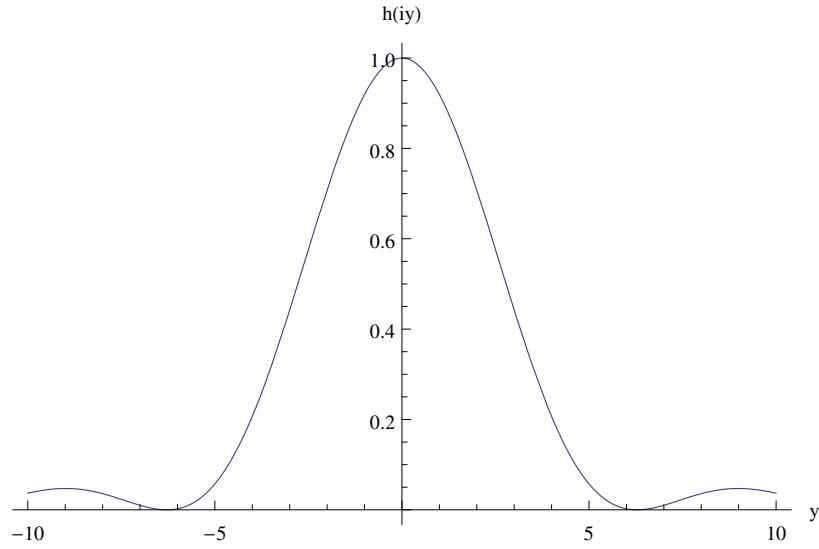


Рис. 2.3.1: График для $|h(iy)|^2$ при $-10 \leq y \leq 10$

Для наглядности приведем график $|h(iy)|^2$:

Таким образом,

$$|H_2(iy)| \leq |y|\gamma\tau = |z|\gamma\tau \quad (2.3.7)$$

Объединяя (2.3.3) и (2.3.7) и потребовав $\gamma\tau < 1$, получим

$$|H_2(z)| < |z| < |H_1(z)| \quad (2.3.8)$$

на границе области D . Таким образом, выполнены все условия теоремы Руше и у $\phi(z)$ нет нулей в D .

Таким образом, $\gamma\tau < 1$ – достаточное условие устойчивости решений дифференциального уравнения с запаздыванием.

$$T'_k(t) + \gamma(k^2)T_k(t - \tau) = 0 \quad (2.3.9)$$

Отметим, что сколь угодно бы малым не было $\tau > 0$ всегда можно найти такой номер k , начиная с которого не выполняется достаточное условие устойчивости $\gamma\tau < 1$.

3 Результаты проведённого анализа

Цель данного раздела настоящей работы – сравнение решений обыкновенного дифференциального уравнения с запаздыванием

$$T'_k(t) - \gamma(k^2)T_k(t - \tau) = 0 \quad (3.0.1)$$

и его приближений обыкновенными дифференциальными уравнениями уже без запаздывания:

$$\sum_{n=1}^m \frac{\tau^{n-1}}{(n-1)!} T_k^{(n)}(t) + \gamma(k^2)T_k(t) = 0 \quad (3.0.2)$$

В предыдущих главах было доказано, что достаточным условием устойчивости (3.0.1) является соотношение $\gamma\tau < 1$. Приближения (3.0.2) же, вообще говоря, всегда неустойчивы при порядках $m \geq 6$ и неустойчивы в предположениях фиксированного малого τ для порядков $m \geq 2$. Приближение порядка $m = 1$ всегда устойчиво.

В рамках работы была написана программа для построения графиков решений задач Коши для функций (3.0.1) и (3.0.2) в зависимости от параметров

1. τ – величины запаздывания,
2. k – порядка члена ряда Фурье,
3. m – порядка приближения.

Начальной функцией предполагается единичная функция на $[-\tau, 0]$. Скорости a и v для простоты примем также единичными.

Будем обозначать как T решение (3.0.1) и как Tm – решение 3.0.2.

3.1 Графики решений при $\tau = 0.1$, $k = 1$

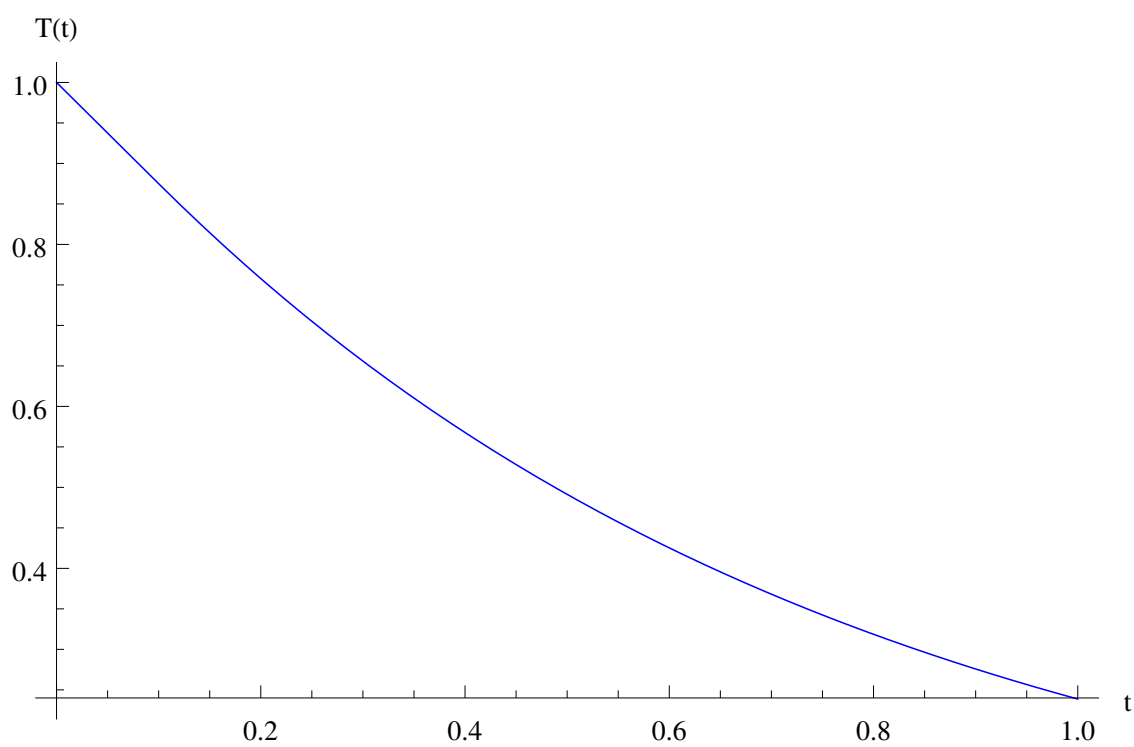


Рис. 3.1.1: График для $T(t)$ при $\tau = 0.1$, $k = 1$, $m = 1$

3.1.1 Приближение порядка $m = 1$

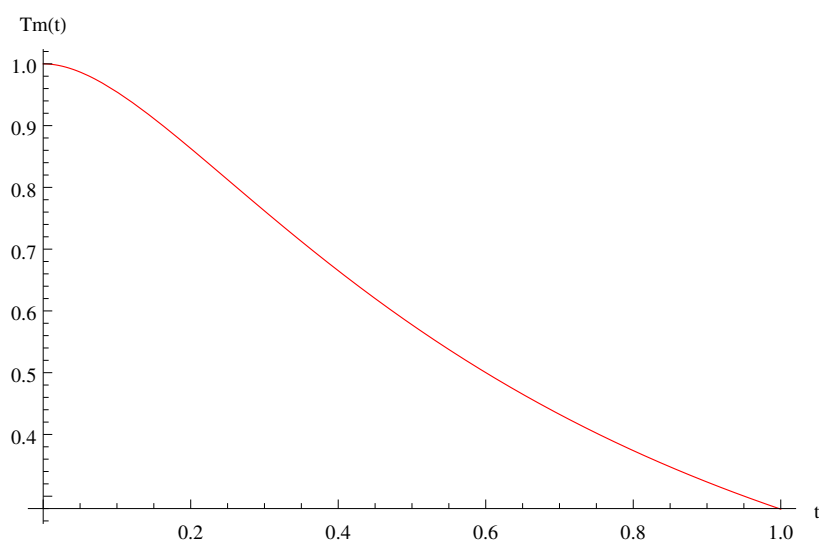


Рис. 3.1.2: График для $Tm(t)$ при $\tau = 0.1$, $k = 1$, $m = 1$

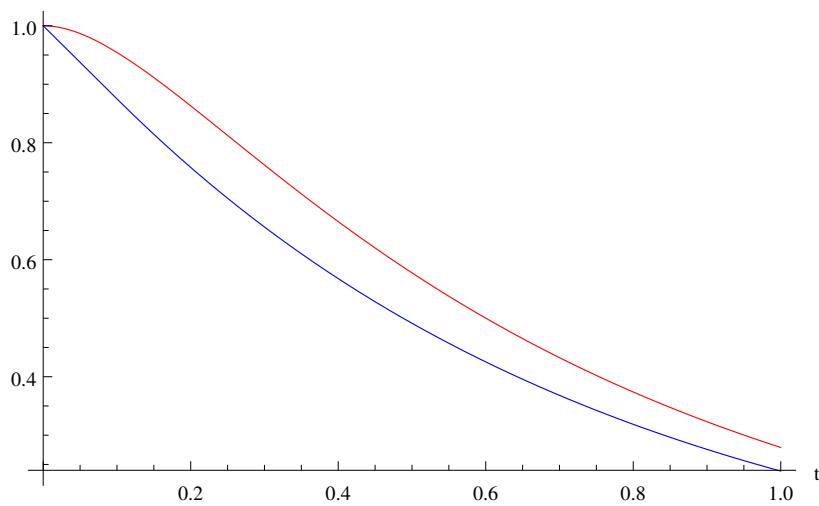


Рис. 3.1.3: Общий график при $\tau = 0.1$, $k = 1$, $m = 1$

3.1.2 Приближение порядка $m = 2$

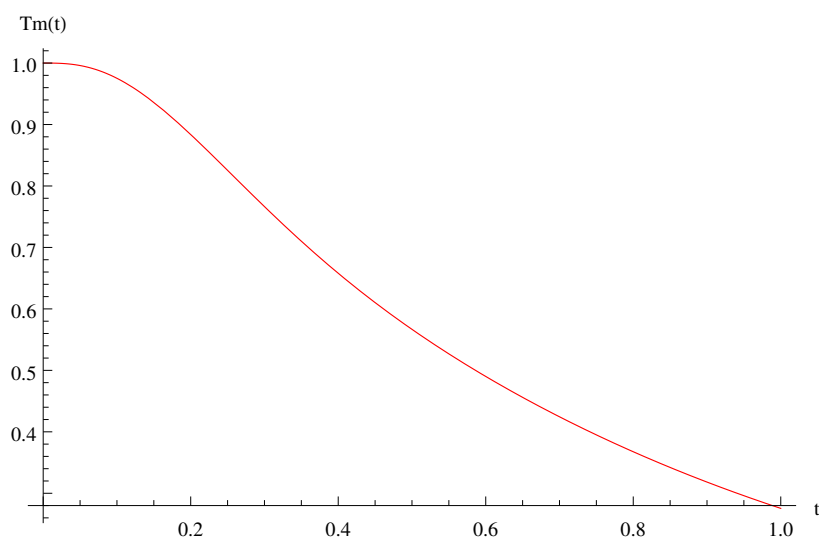


Рис. 3.1.4: График для $Tm(t)$ при $\tau = 0.1$, $k = 1$, $m = 2$

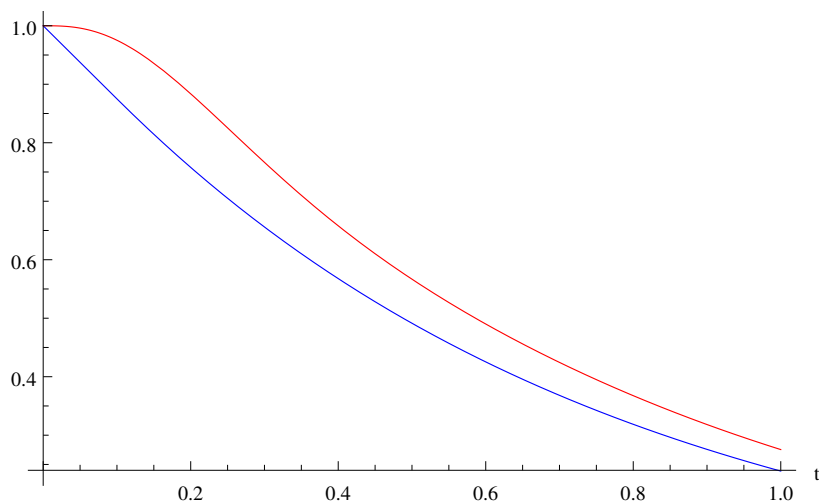


Рис. 3.1.5: Общий график при $\tau = 0.1$, $k = 1$, $m = 2$

3.1.3 Приближение порядка $m = 3$

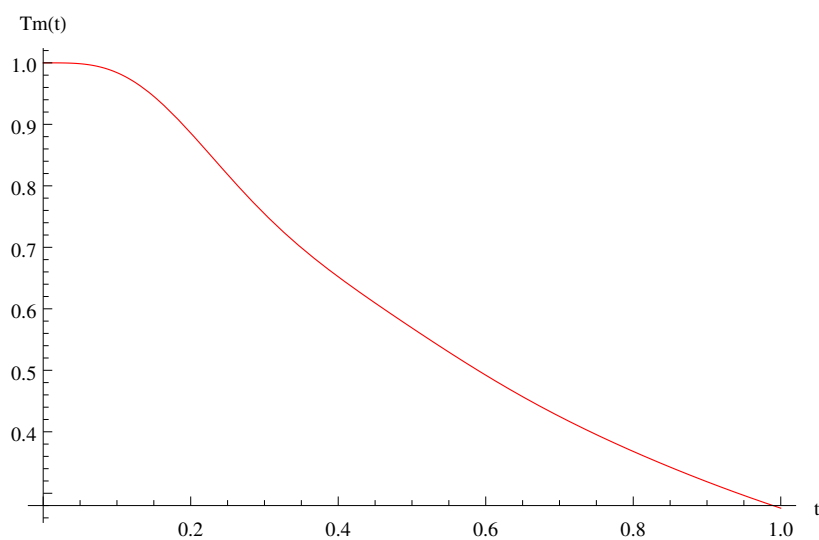


Рис. 3.1.6: График для $Tm(t)$ при $\tau = 0.1$, $k = 1$, $m = 3$

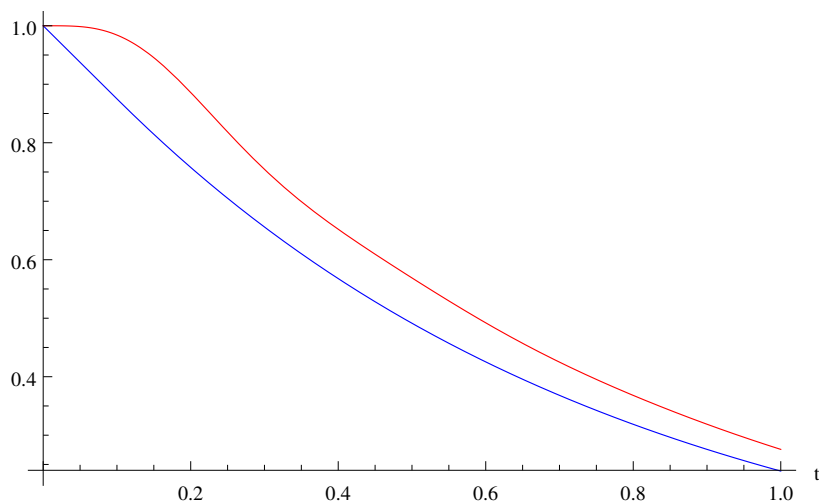


Рис. 3.1.7: Общий график при $\tau = 0.1$, $k = 1$, $m = 3$

3.1.4 Приближение порядка $m = 4$

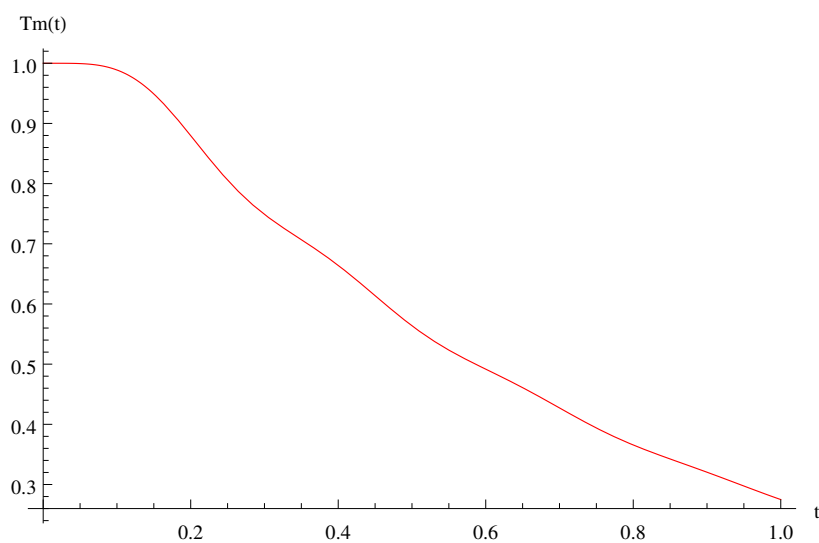


Рис. 3.1.8: График для $Tm(t)$ при $\tau = 0.1$, $k = 1$, $m = 4$

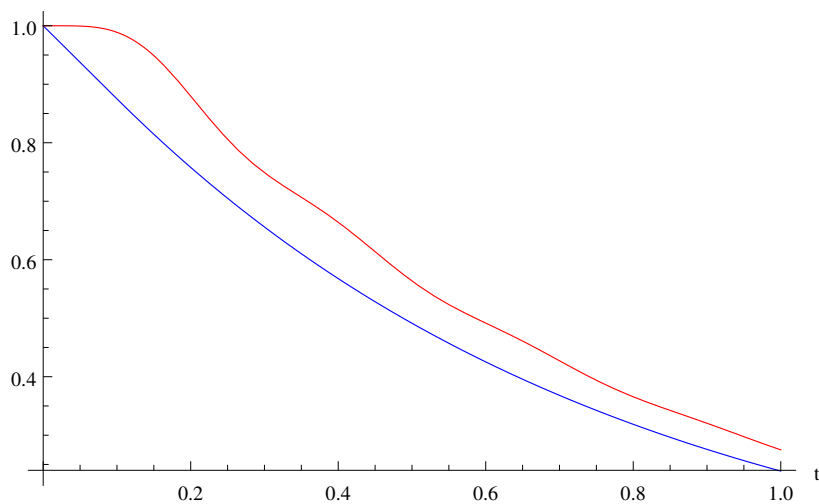


Рис. 3.1.9: Общий график при $\tau = 0.1$, $k = 1$, $m = 4$

3.1.5 Приближение порядка $m = 5$

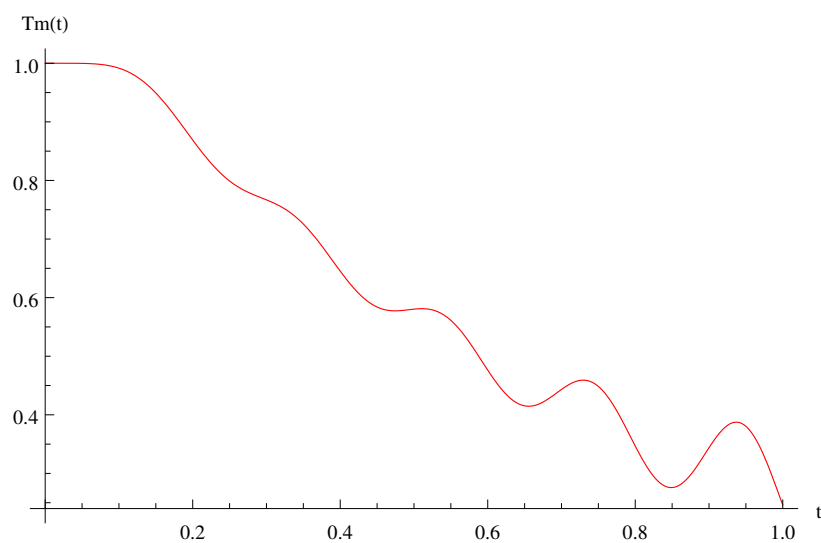


Рис. 3.1.10: График для $Tm(t)$ при $\tau = 0.1$, $k = 1$, $m = 5$

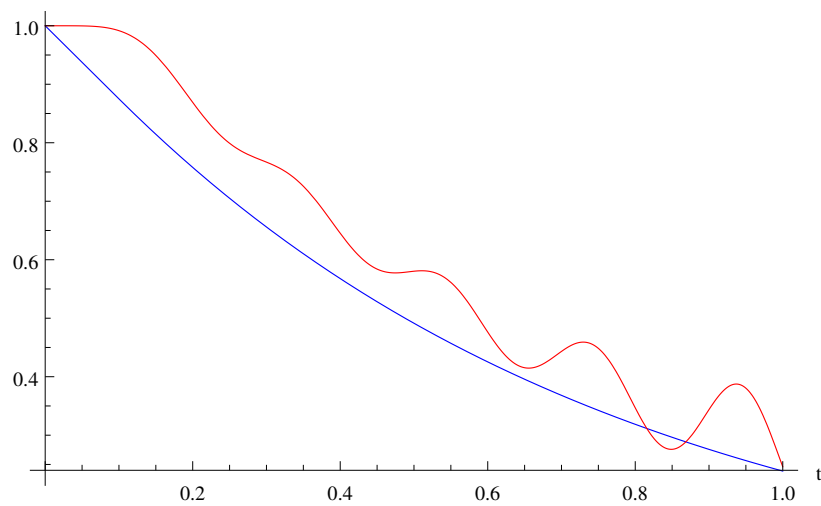


Рис. 3.1.11: Общий график при $\tau = 0.1$, $k = 1$, $m = 5$

3.1.6 Приближение порядка $m = 6$

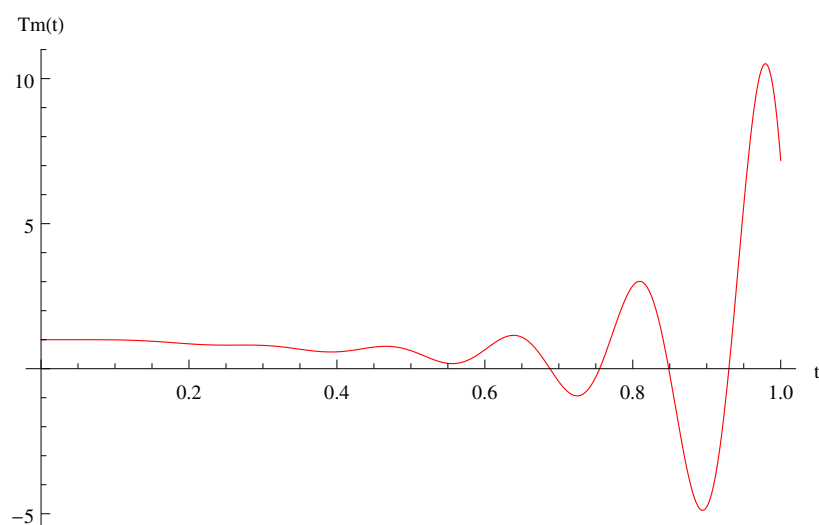


Рис. 3.1.12: График для $Tm(t)$ при $\tau = 0.1$, $k = 1$, $m = 6$

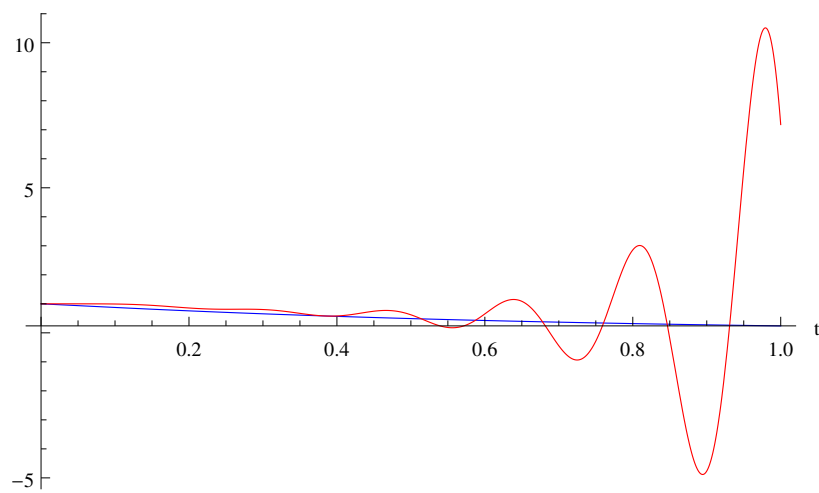


Рис. 3.1.13: Общий график при $\tau = 0.1$, $k = 1$, $m = 6$

3.2 Графики решений при $\tau = 0.1$, $k = 2$

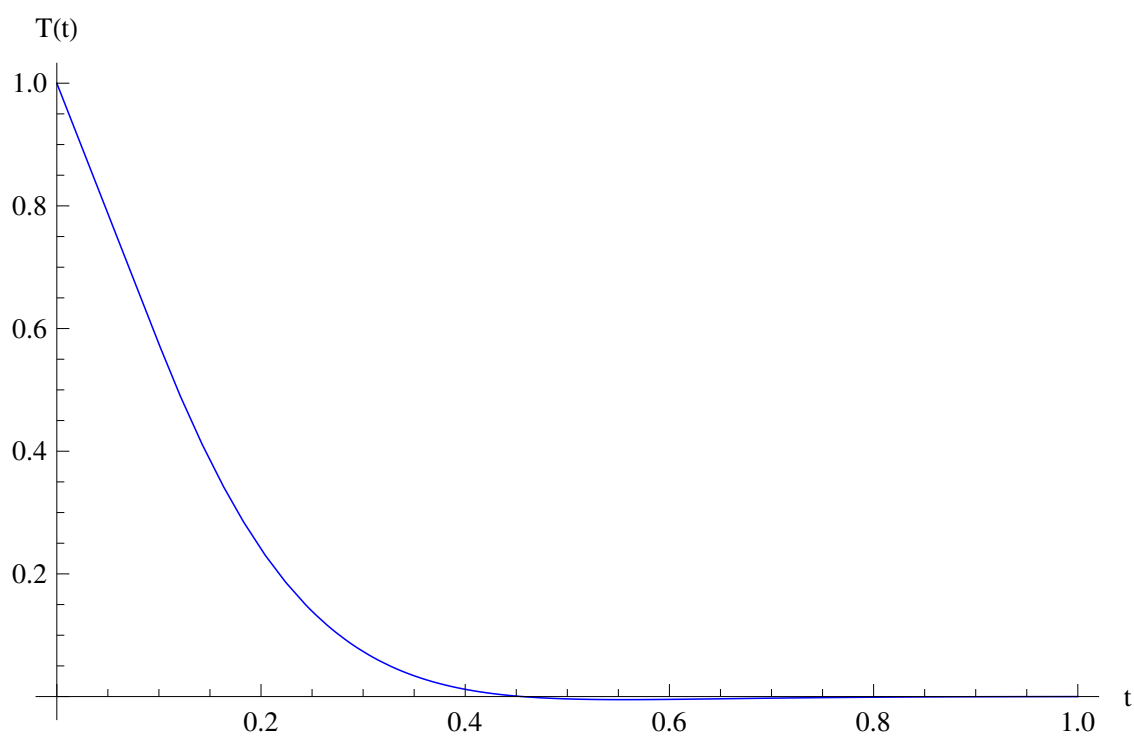


Рис. 3.2.1: График для $T(t)$ при $\tau = 0.1$, $k = 2$, $m = 1$

3.2.1 Приближение порядка $m = 1$

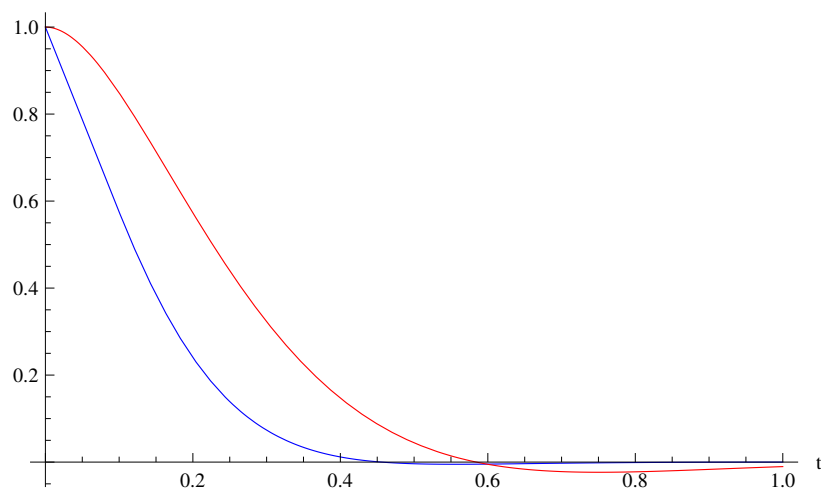


Рис. 3.2.2: График для $Tm(t)$ при $\tau = 0.1$, $k = 2$, $m = 1$

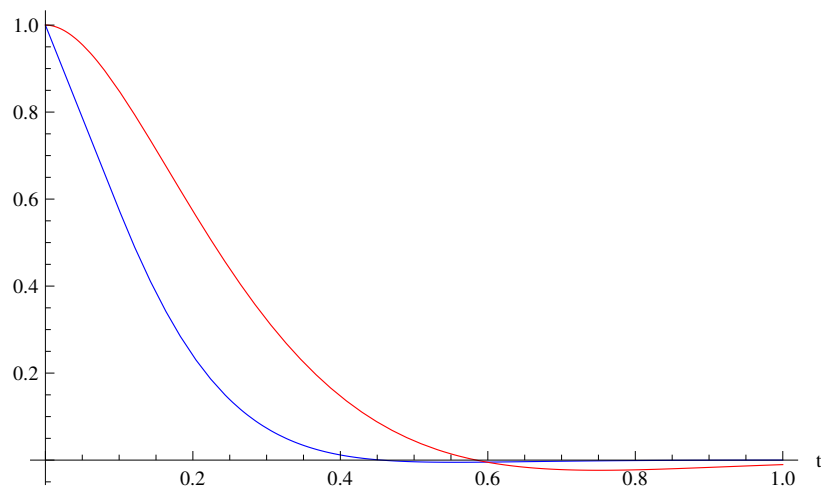


Рис. 3.2.3: Общий график при $\tau = 0.1$, $k = 2$, $m = 1$

3.2.2 Приближение порядка $m = 2$

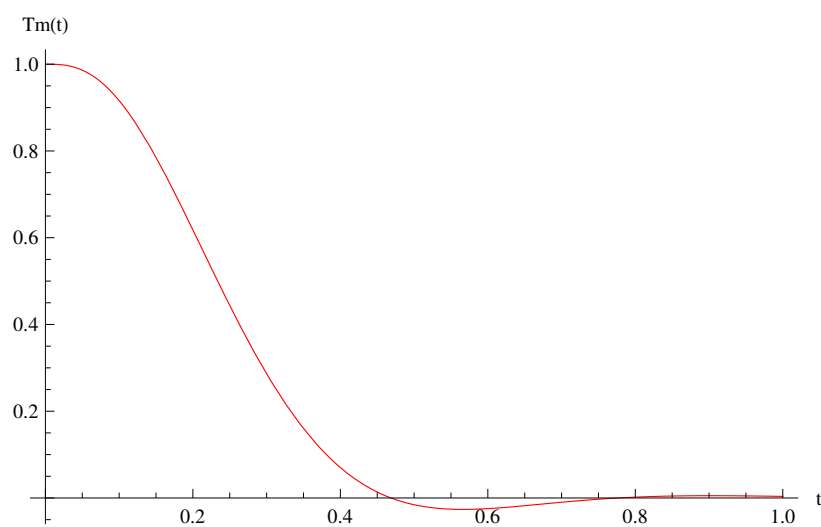


Рис. 3.2.4: График для $Tm(t)$ при $\tau = 0.1$, $k = 2$, $m = 2$

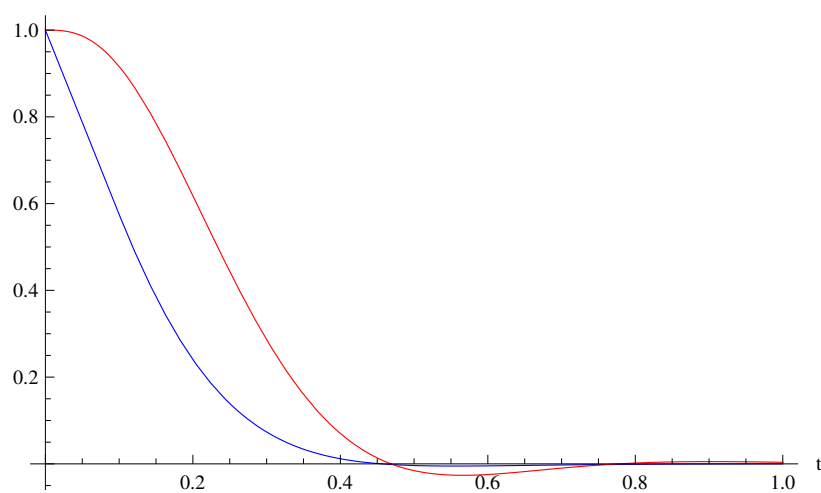


Рис. 3.2.5: Общий график при $\tau = 0.1$, $k = 2$, $m = 2$

3.2.3 Приближение порядка $m = 3$

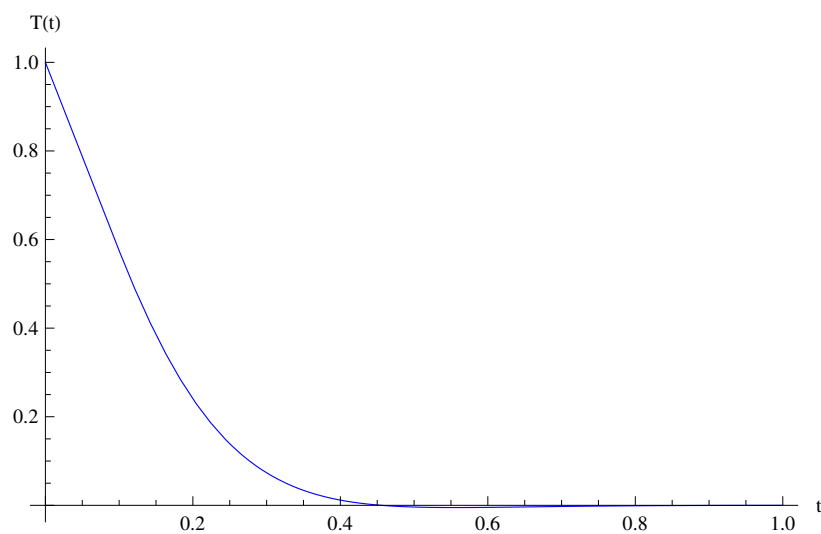


Рис. 3.2.6: График для $Tm(t)$ при $\tau = 0.1$, $k = 2$, $m = 3$

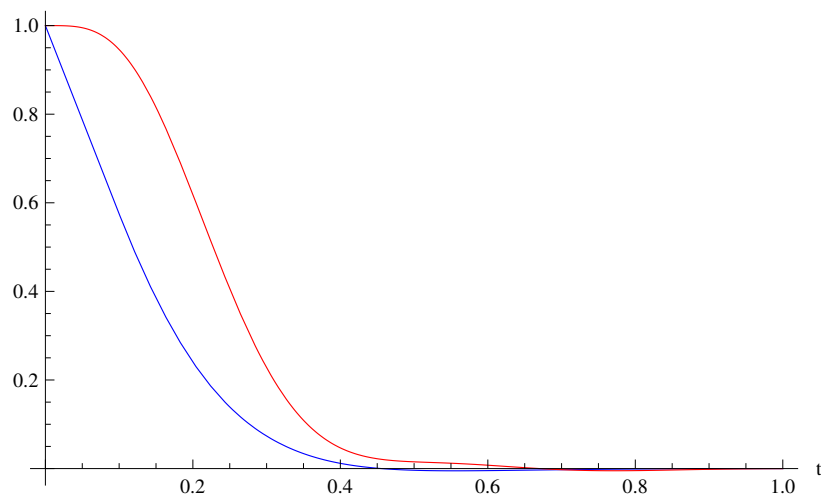


Рис. 3.2.7: Общий график при $\tau = 0.1$, $k = 2$, $m = 3$

3.2.4 Приближение порядка $m = 4$

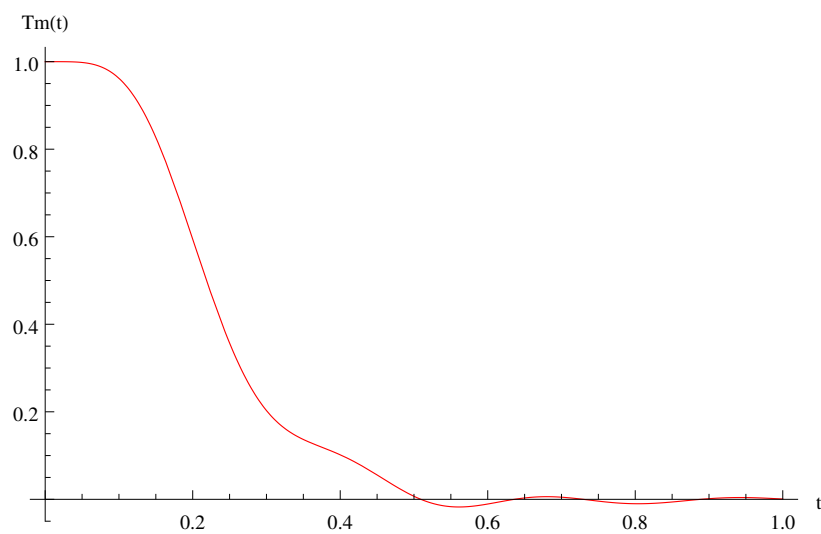


Рис. 3.2.8: График для $Tm(t)$ при $\tau = 0.1$, $k = 2$, $m = 4$

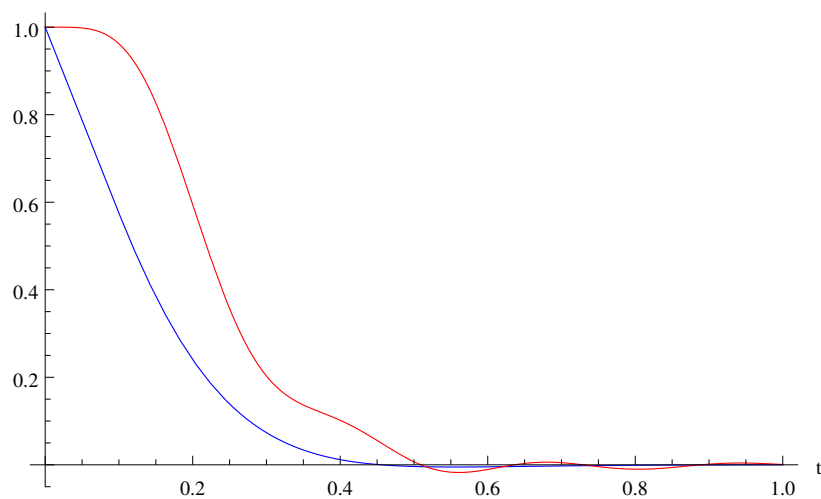


Рис. 3.2.9: Общий график при $\tau = 0.1$, $k = 2$, $m = 4$

3.2.5 Приближение порядка $m = 5$

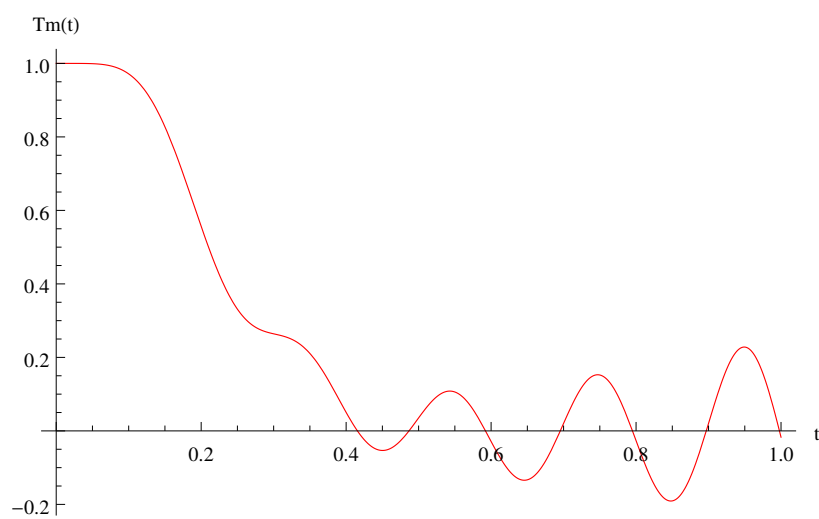


Рис. 3.2.10: График для $Tm(t)$ при $\tau = 0.1$, $k = 2$, $m = 5$

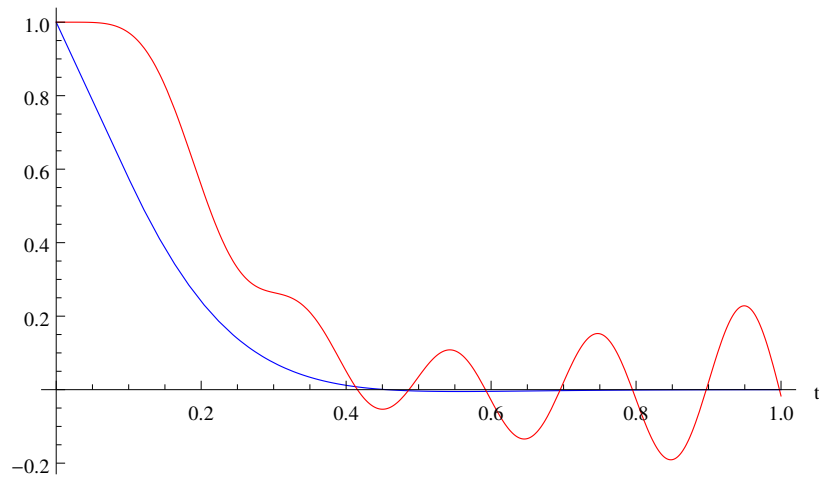


Рис. 3.2.11: Общий график при $\tau = 0.1$, $k = 2$, $m = 5$

3.2.6 Приближение порядка $m = 6$

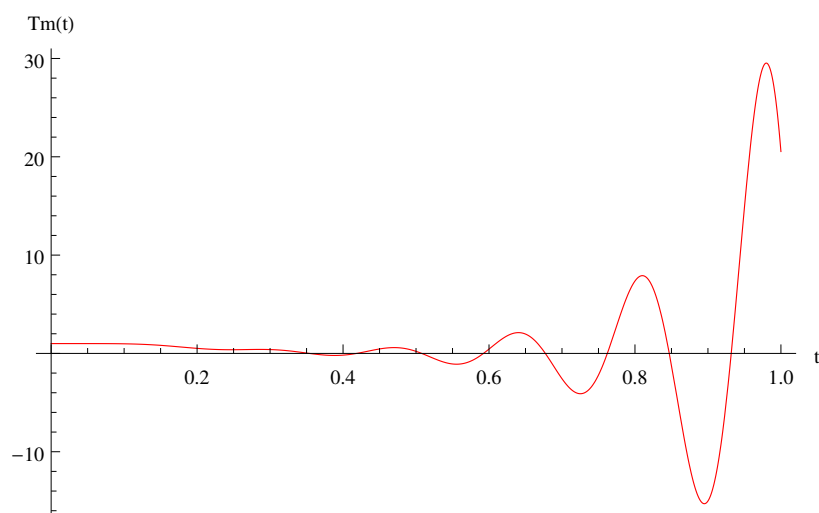


Рис. 3.2.12: График для $Tm(t)$ при $\tau = 0.1$, $k = 2$, $m = 6$

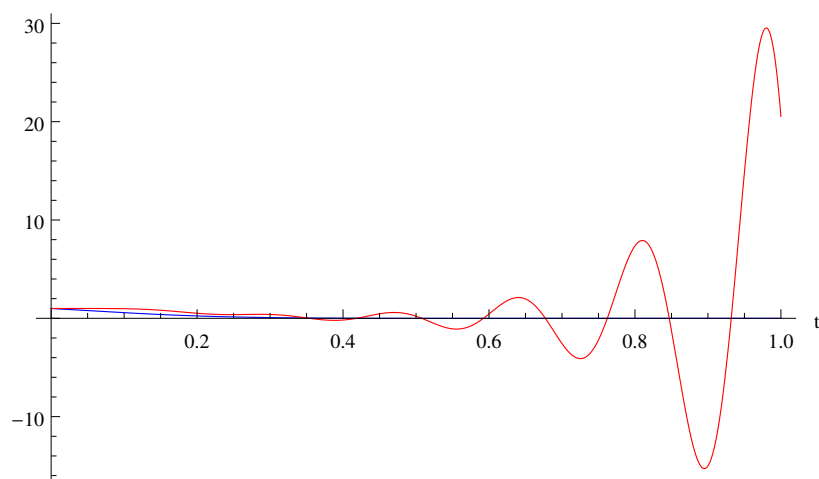


Рис. 3.2.13: Общий график при $\tau = 0.1$, $k = 2$, $m = 6$

3.3 Промежуточный вывод

В [3.1] и [3.2] были рассмотрены корректно поставленные задачи Коши для уравнения (3.0.1) и рассмотрены их первые 6 приближений (3.0.2).

На основании этих данных можно сделать следующие выводы:

1. Увеличение порядка приближения m не гарантирует лучшей аппроксимации решения (3.0.1).
2. Открыт вопрос о выборе начальных условий в задаче Коши для приближений: эвристический подход с выбором их как значений функции истории и её производных в начальной точке неоптимален.
3. Открыт вопрос о временном интервале и его зависимости от запаздывания τ , на которых приближения адекватны.

Далее приведем модели с гораздо большими значениями k , иллюстрирующие случаи некорректности задачи и пограничные к ним.

3.4 Графики решений при $\tau = 0.001$, $k = 39$

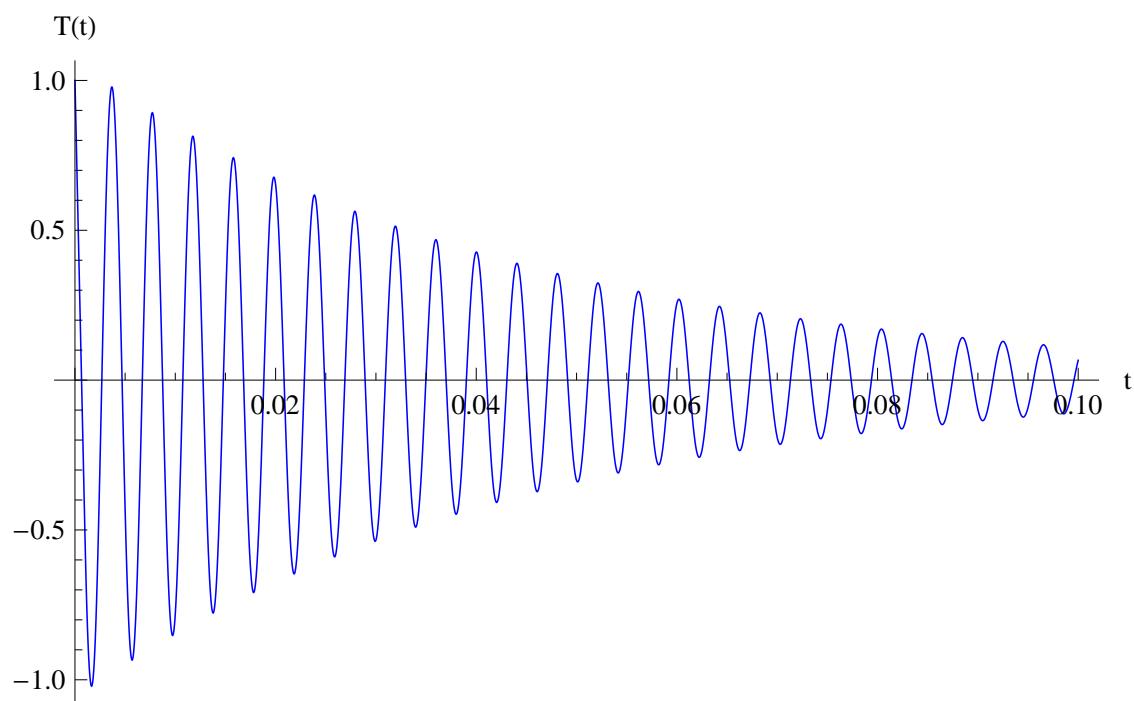


Рис. 3.4.1: График для $T(t)$ при $\tau = 0.001$, $k = 39$, $m = 1$

3.4.1 Приближение порядка $m = 1$

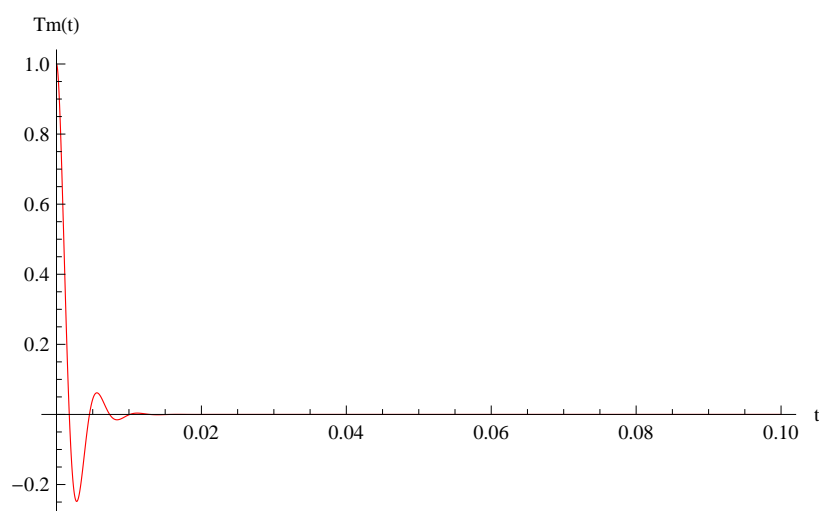


Рис. 3.4.2: График для $Tm(t)$ при $\tau = 0.001$, $k = 39$, $m = 1$

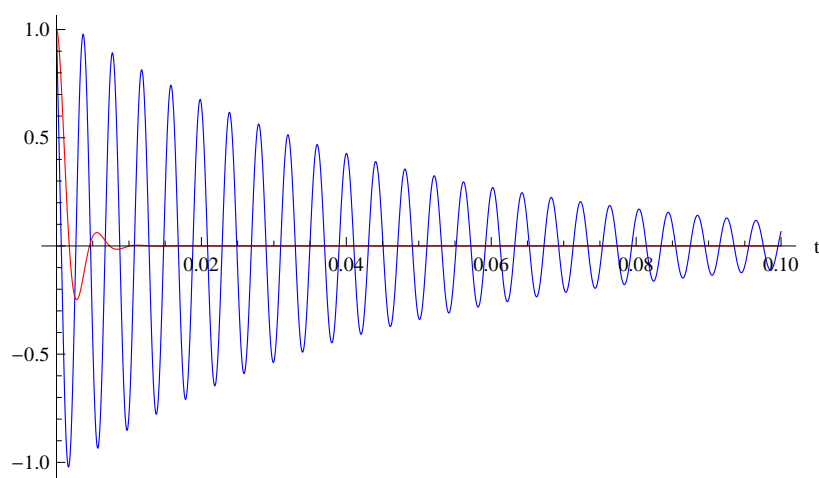


Рис. 3.4.3: Общий график при $\tau = 0.001$, $k = 39$, $m = 1$

3.4.2 Приближение порядка $m = 2$

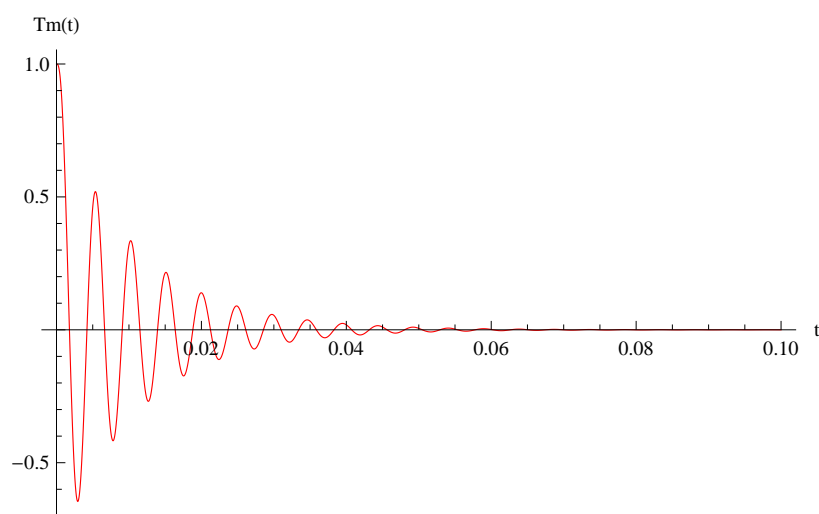


Рис. 3.4.4: График для $Tm(t)$ при $\tau = 0.001$, $k = 39$, $m = 2$

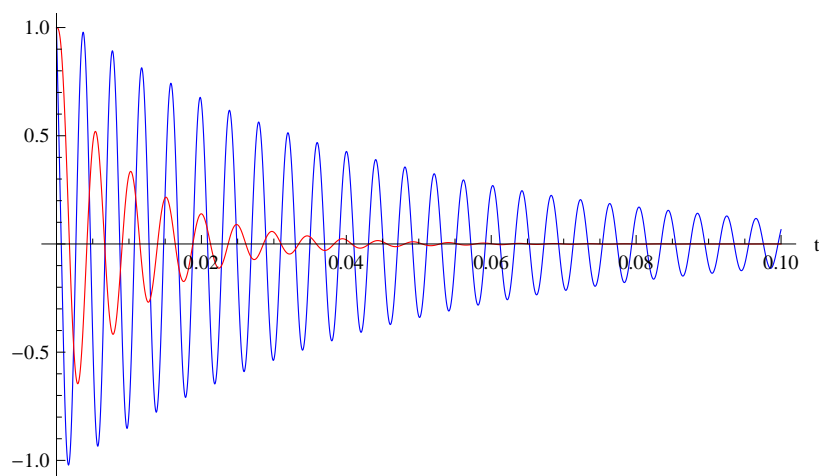


Рис. 3.4.5: Общий график при $\tau = 0.001$, $k = 39$, $m = 2$

3.4.3 Приближение порядка $m = 3$

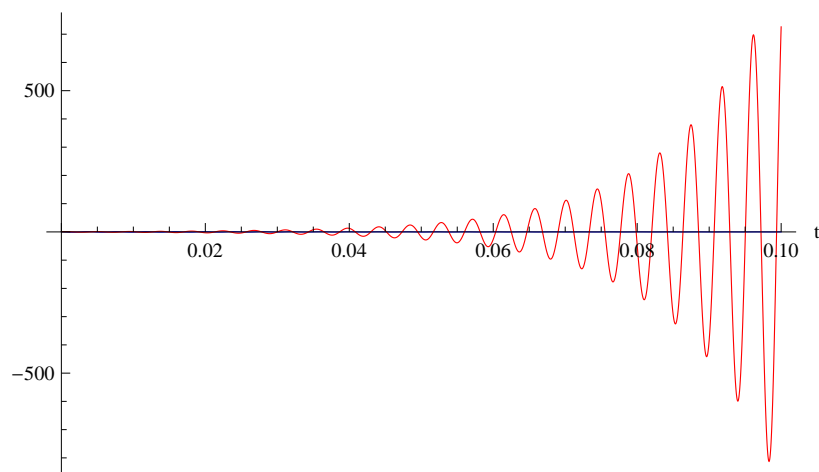


Рис. 3.4.6: График для $Tm(t)$ при $\tau = 0.001$, $k = 39$, $m = 3$

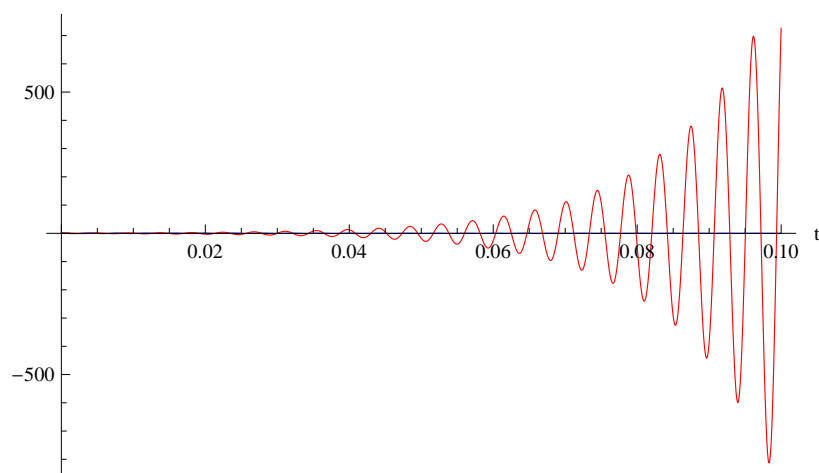


Рис. 3.4.7: Общий график при $\tau = 0.001$, $k = 39$, $m = 3$

3.4.4 Приближение порядка $m = 4$

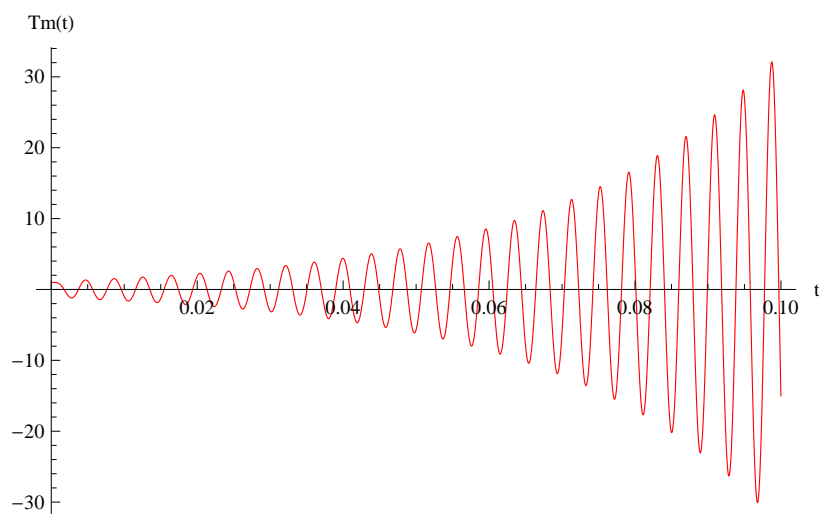


Рис. 3.4.8: График для $Tm(t)$ при $\tau = 0.001$, $k = 39$, $m = 4$

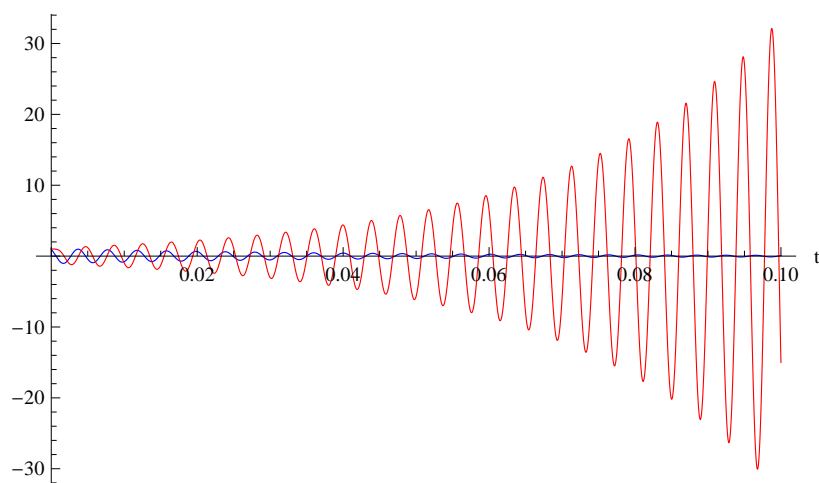


Рис. 3.4.9: Общий график при $\tau = 0.001$, $k = 39$, $m = 4$

3.4.5 Приближение порядка $m = 5$

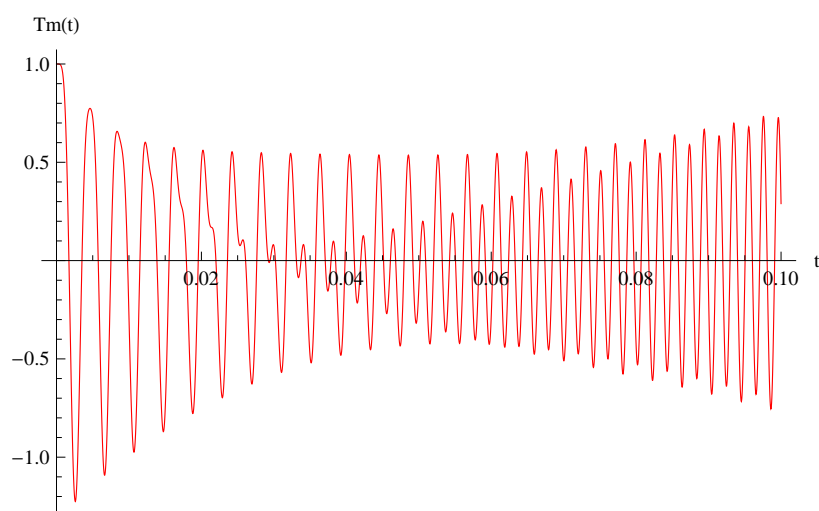


Рис. 3.4.10: График для $Tm(t)$ при $\tau = 0.001$, $k = 39$, $m = 5$

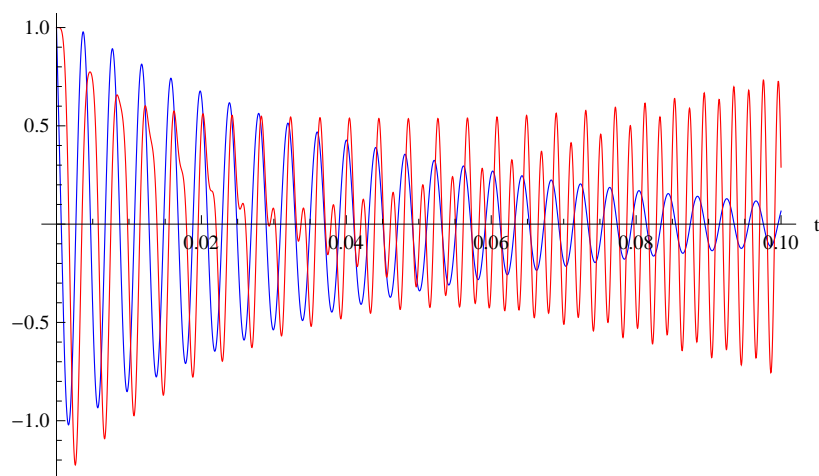


Рис. 3.4.11: Общий график при $\tau = 0.001$, $k = 39$, $m = 5$

3.4.6 Приближение порядка $m = 6$

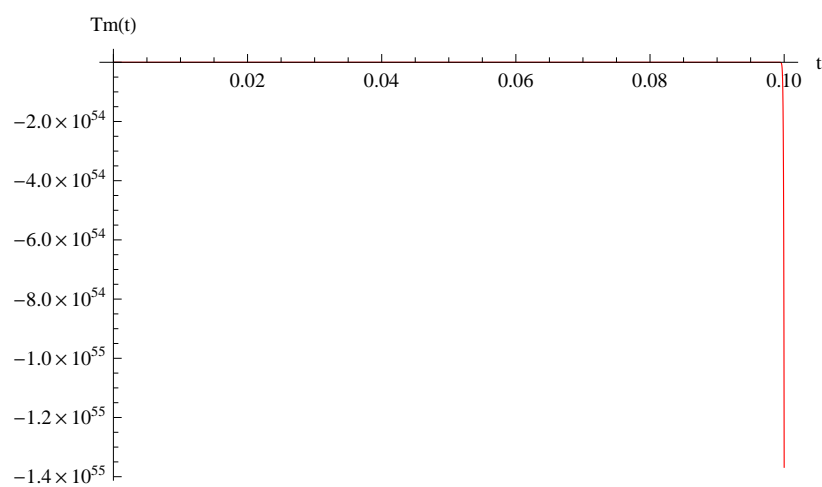


Рис. 3.4.12: График для $Tm(t)$ при $\tau = 0.001$, $k = 39$, $m = 6$

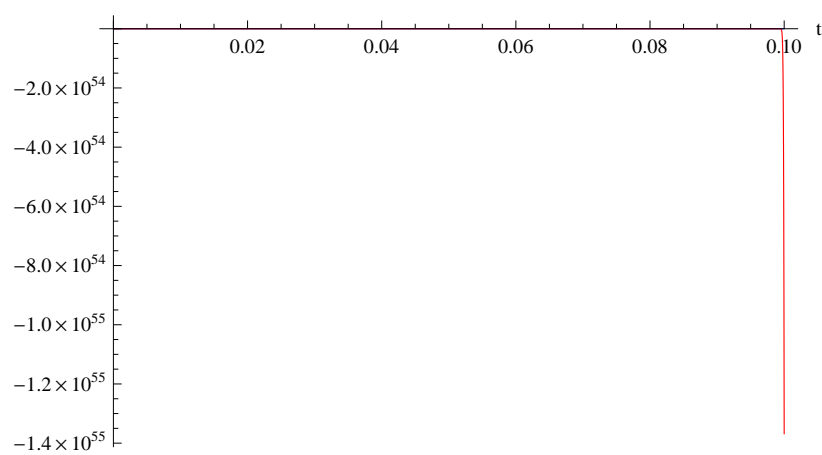


Рис. 3.4.13: Общий график при $\tau = 0.001$, $k = 39$, $m = 6$

3.5 Графики решений при $\tau = 0.001$, $k = 40$

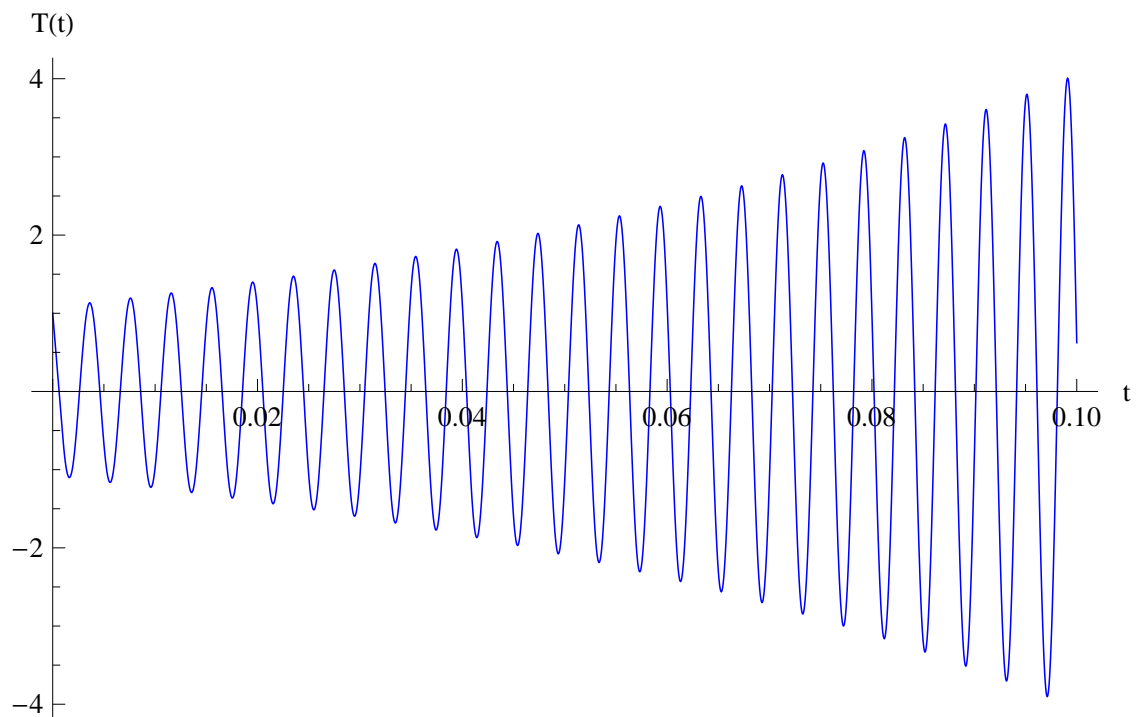


Рис. 3.5.1: График для $T(t)$ при $\tau = 0.001$, $k = 40$, $m = 1$

3.5.1 Приближение порядка $m = 1$

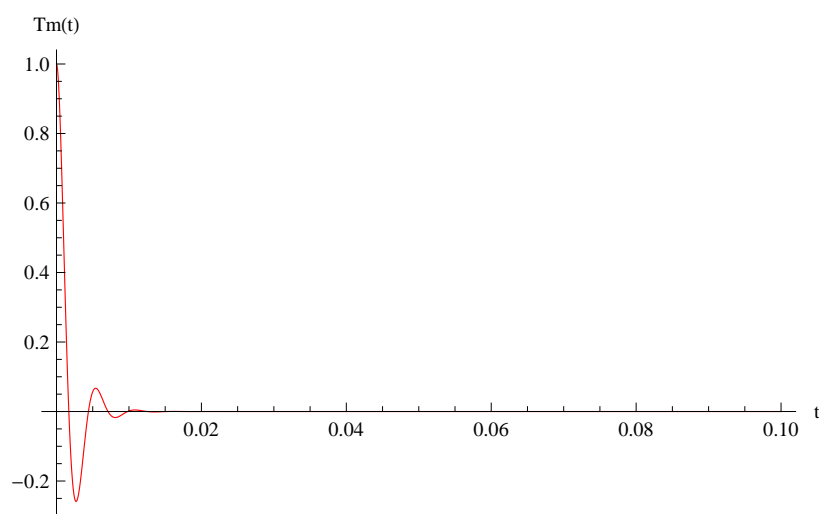


Рис. 3.5.2: График для $Tm(t)$ при $\tau = 0.001$, $k = 40$, $m = 1$

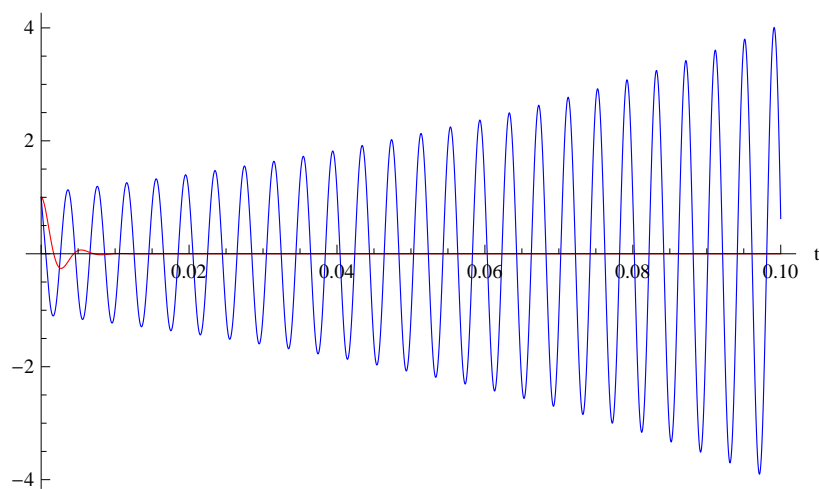


Рис. 3.5.3: Общий график при $\tau = 0.001$, $k = 40$, $m = 1$

3.5.2 Приближение порядка $m = 2$

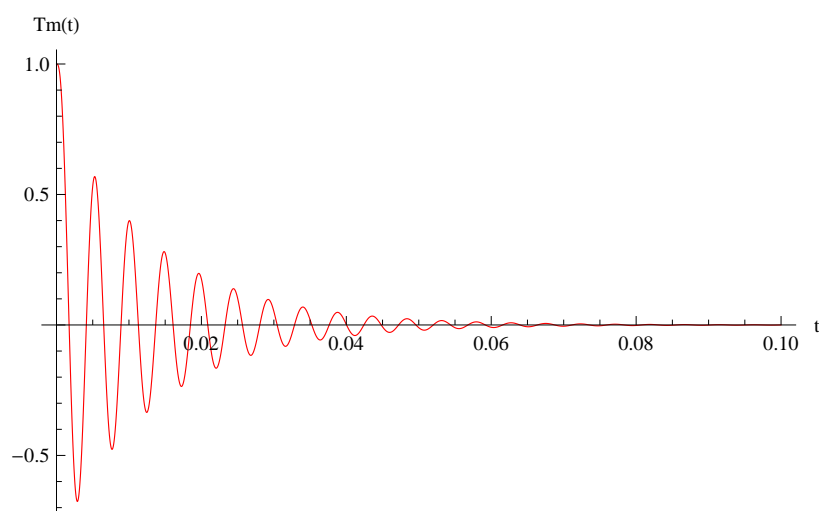


Рис. 3.5.4: График для $Tm(t)$ при $\tau = 0.001$, $k = 40$, $m = 2$

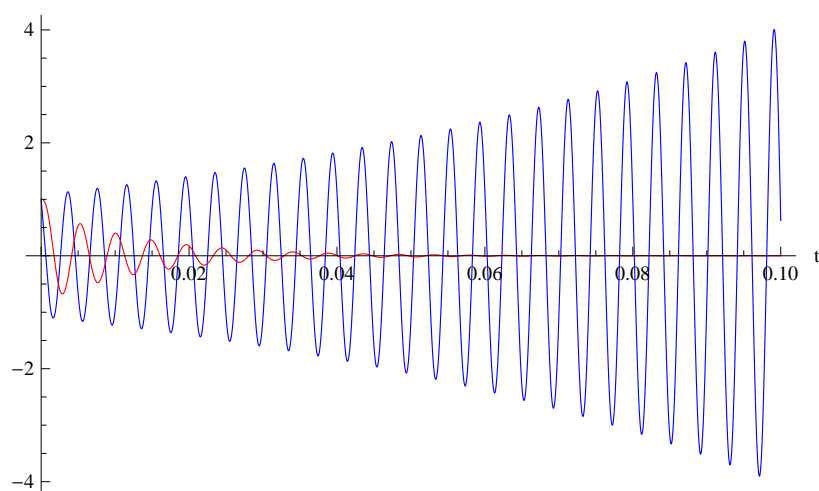


Рис. 3.5.5: Общий график при $\tau = 0.001$, $k = 40$, $m = 2$

3.5.3 Приближение порядка $m = 3$

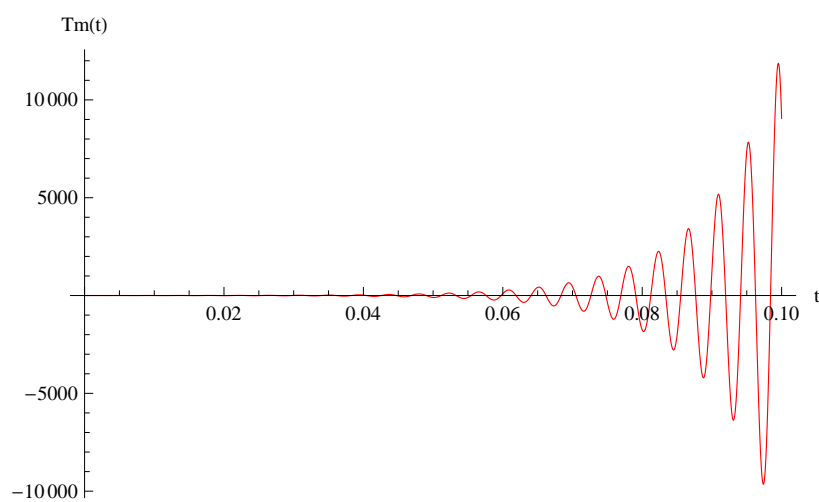


Рис. 3.5.6: График для $Tm(t)$ при $\tau = 0.001$, $k = 40$, $m = 3$

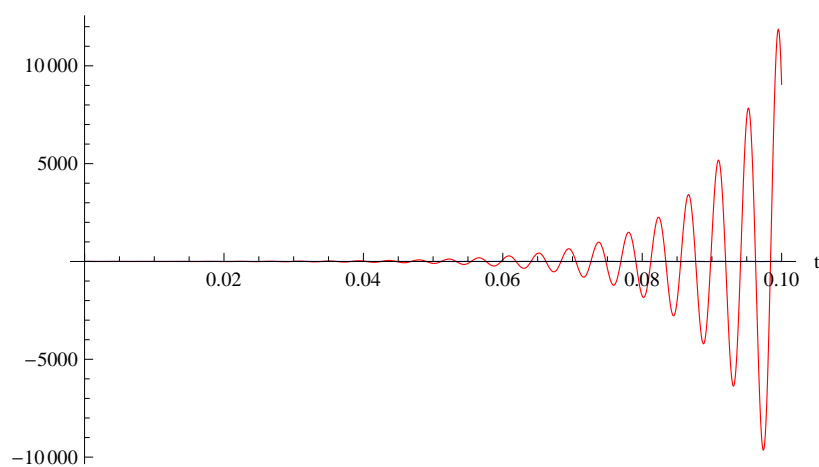


Рис. 3.5.7: Общий график при $\tau = 0.001$, $k = 40$, $m = 3$

3.5.4 Приближение порядка $m = 4$

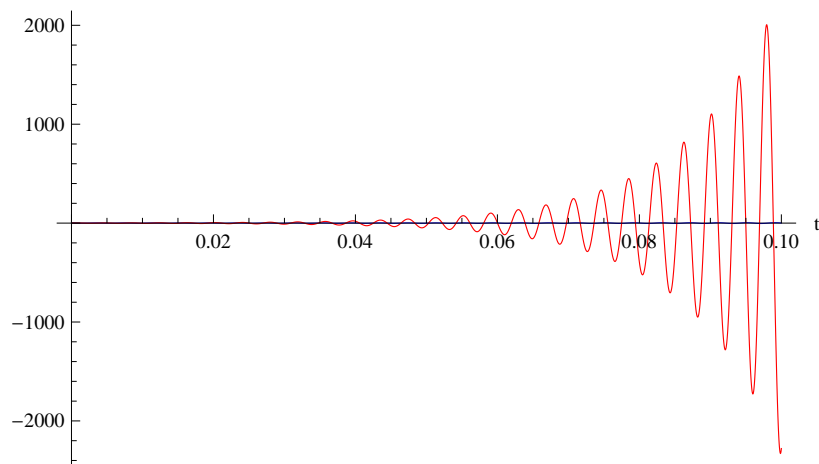


Рис. 3.5.8: График для $Tm(t)$ при $\tau = 0.001$, $k = 40$, $m = 4$

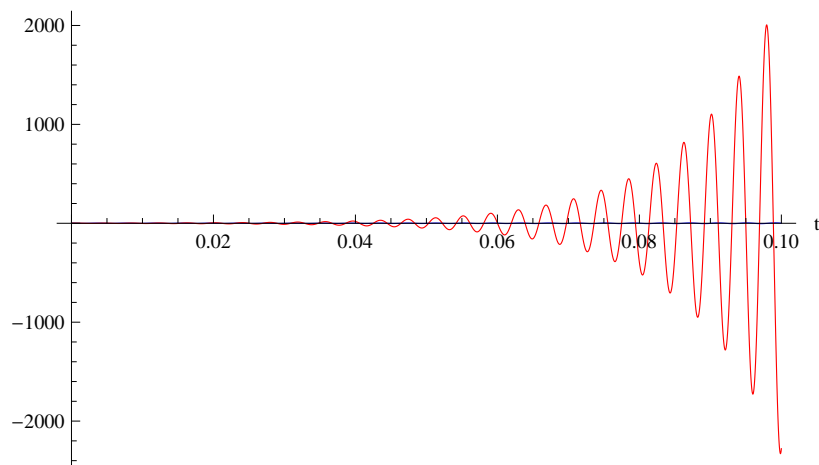


Рис. 3.5.9: Общий график при $\tau = 0.001$, $k = 40$, $m = 4$

3.5.5 Приближение порядка $m = 5$

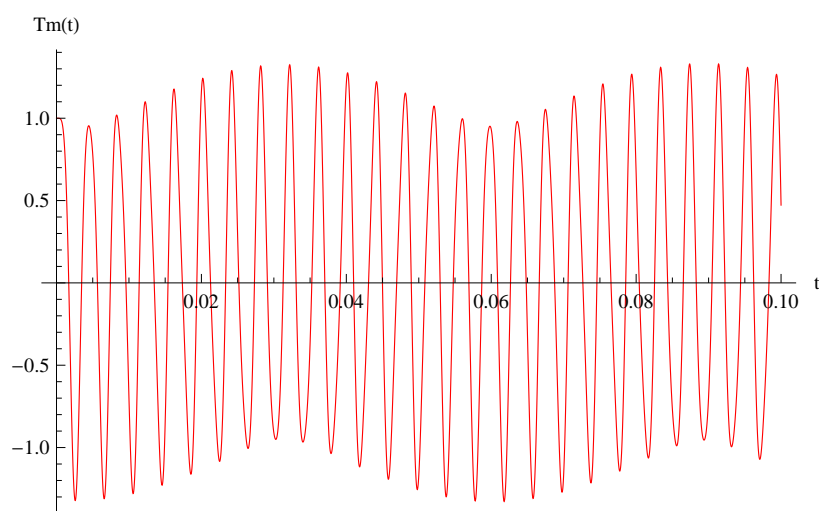


Рис. 3.5.10: График для $Tm(t)$ при $\tau = 0.001$, $k = 40$, $m = 5$

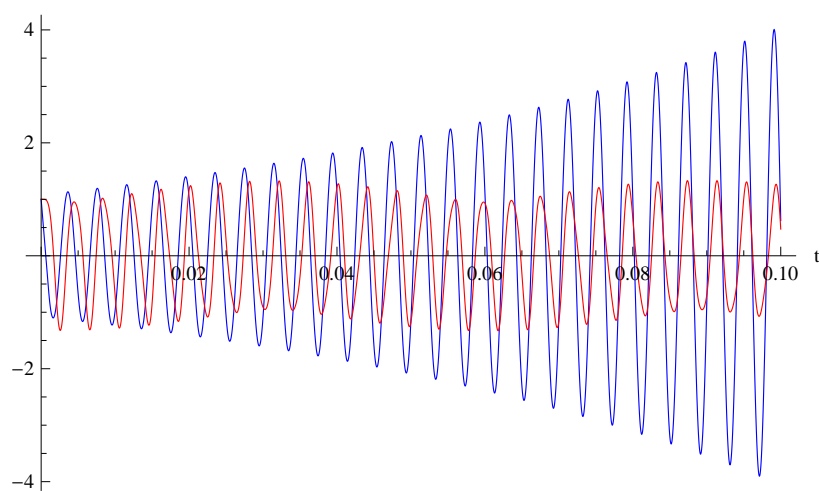


Рис. 3.5.11: Общий график при $\tau = 0.001$, $k = 40$, $m = 5$

3.5.6 Приближение порядка $m = 6$

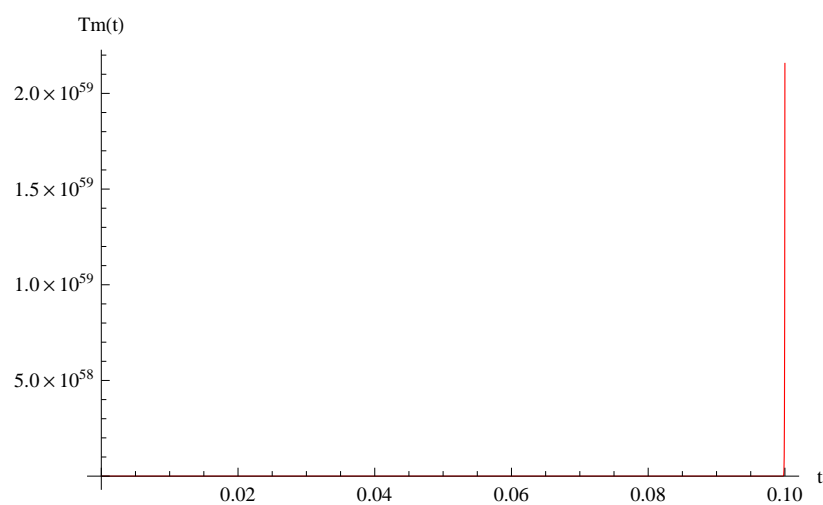


Рис. 3.5.12: График для $Tm(t)$ при $\tau = 0.001$, $k = 40$, $m = 6$

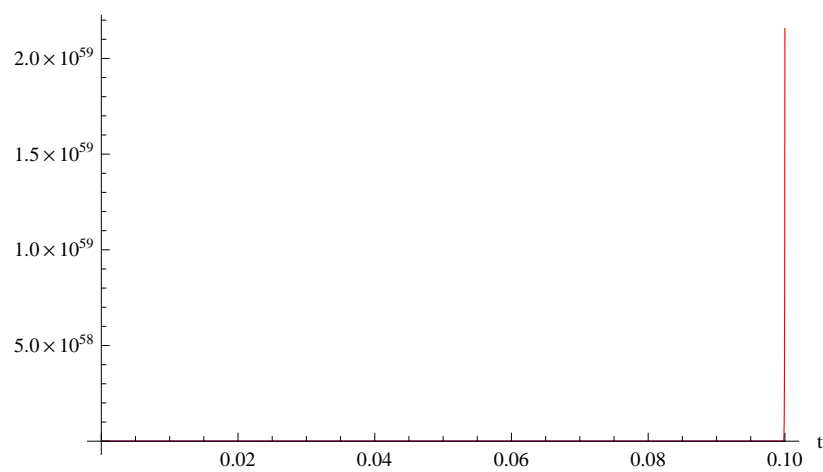


Рис. 3.5.13: Общий график при $\tau = 0.001$, $k = 40$, $m = 6$

3.6 Графики решений при $\tau = 0.001$, $\gamma = \frac{\pi}{2 \cdot 0.001}$

В ходе исследования было сделано предположение о том, что необходимым условием устойчивости исходной задачи с запаздыванием является $\gamma\tau < \frac{\pi}{2}$. Построим решение и его приближения, например, в критическом случае $\tau = 0.001$, $\gamma = \frac{\pi}{2 \cdot 0.001}$.

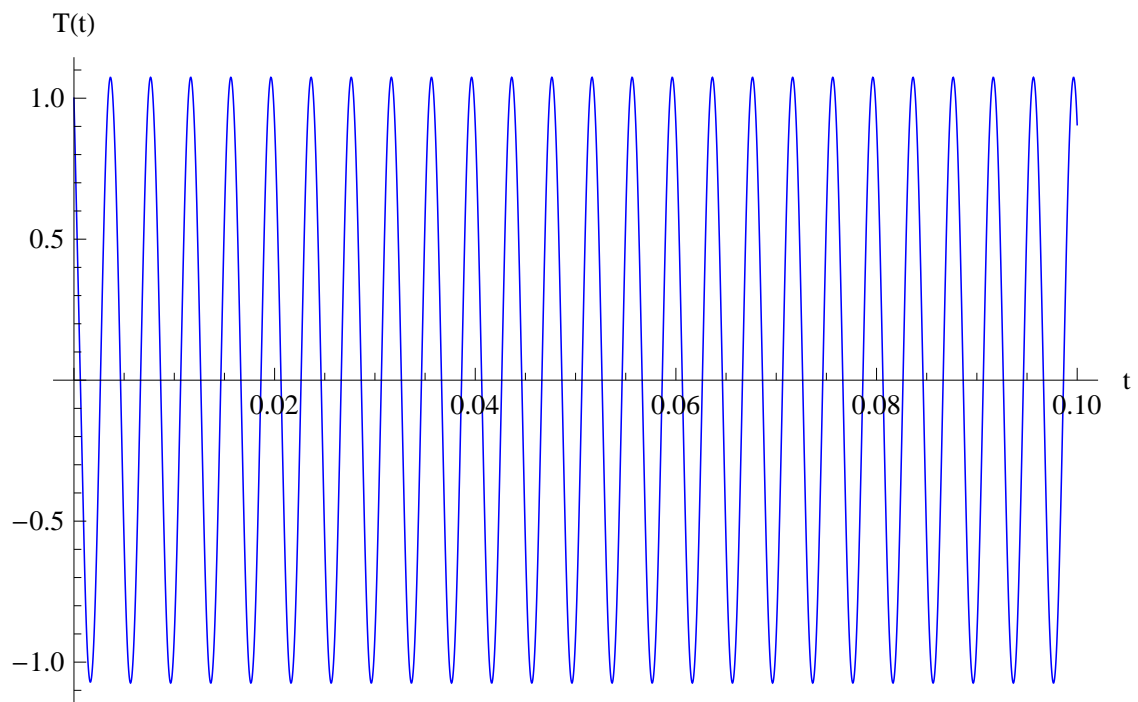


Рис. 3.6.1: График для $T(t)$ при $\tau = 0.001$, $\gamma = \frac{\pi}{2 \cdot 0.001}$, $m = 1$

3.6.1 Приближение порядка $m = 1$

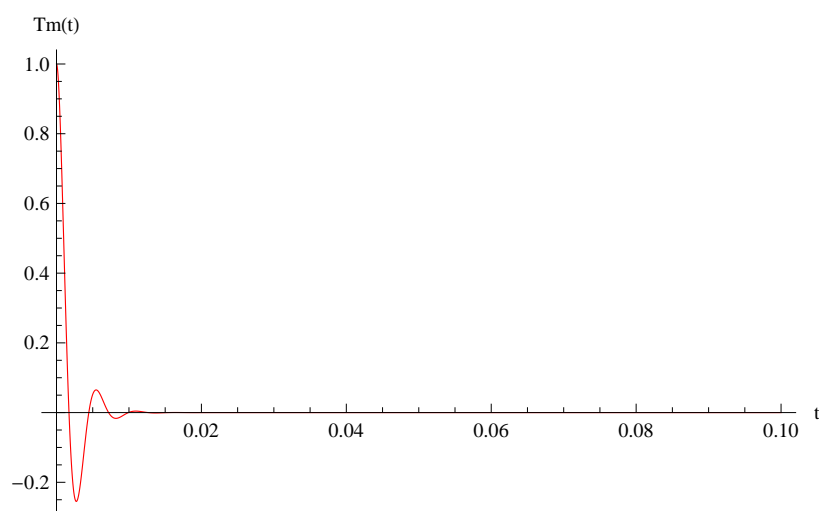


Рис. 3.6.2: График для $Tm(t)$ при $\tau = 0.001$, $\gamma = \frac{\pi}{2 \cdot 0.001}$, $m = 1$

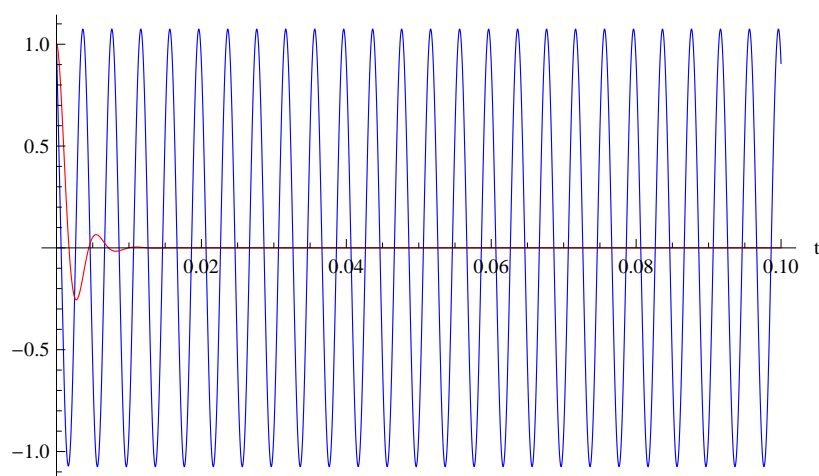


Рис. 3.6.3: Общий график при $\tau = 0.001$, $\gamma = \frac{\pi}{2 \cdot 0.001}$, $m = 1$

3.6.2 Приближение порядка $m = 2$

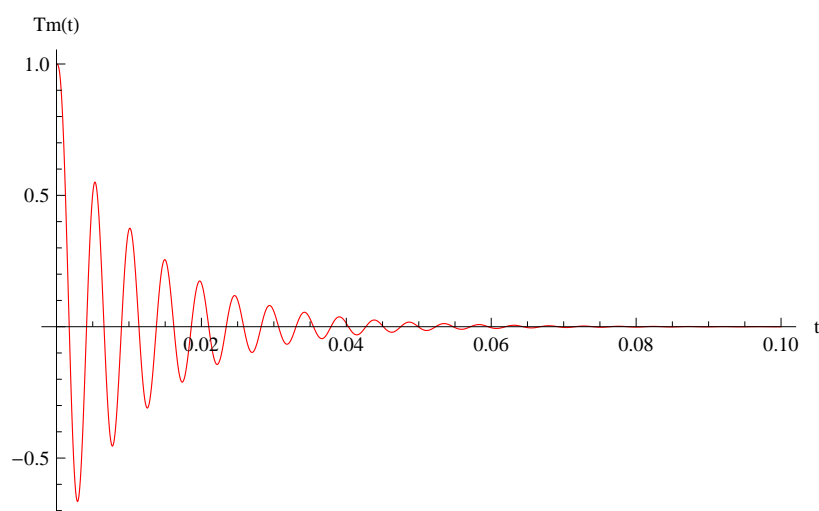


Рис. 3.6.4: График для $Tm(t)$ при $\tau = 0.001$, $\gamma = \frac{\pi}{2 \cdot 0.001}$, $m = 2$

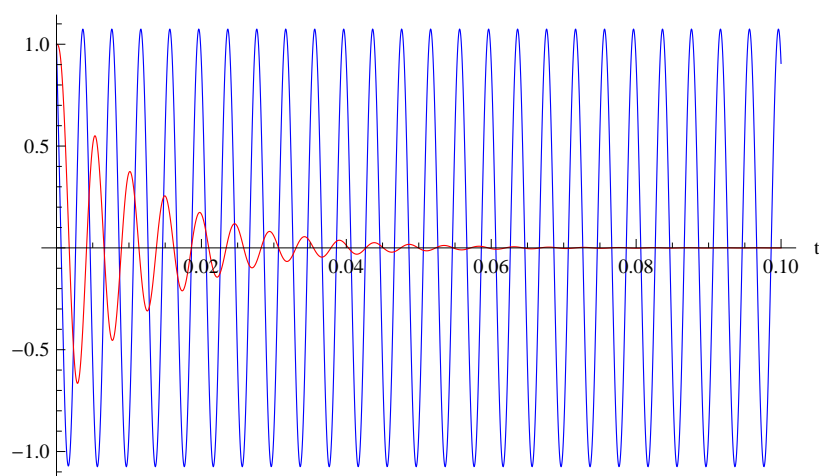


Рис. 3.6.5: Общий график при $\tau = 0.001$, $\gamma = \frac{\pi}{2 \cdot 0.001}$, $m = 2$

3.6.3 Приближение порядка $m = 3$

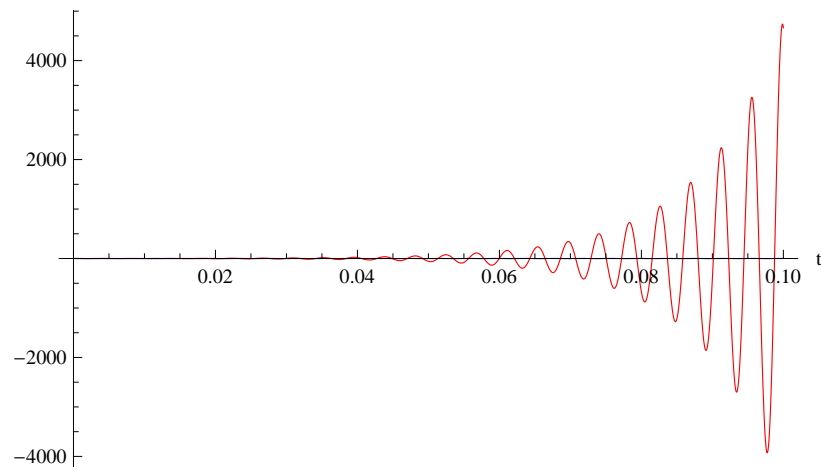


Рис. 3.6.6: График для $Tm(t)$ при $\tau = 0.001$, $\gamma = \frac{\pi}{2 \cdot 0.001}$, $m = 3$

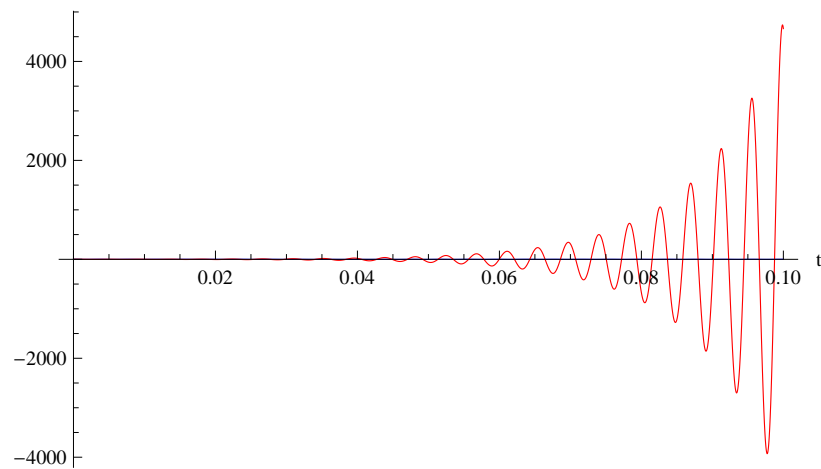


Рис. 3.6.7: Общий график при $\tau = 0.001$, $\gamma = \frac{\pi}{2 \cdot 0.001}$, $m = 3$

3.6.4 Приближение порядка $m = 4$

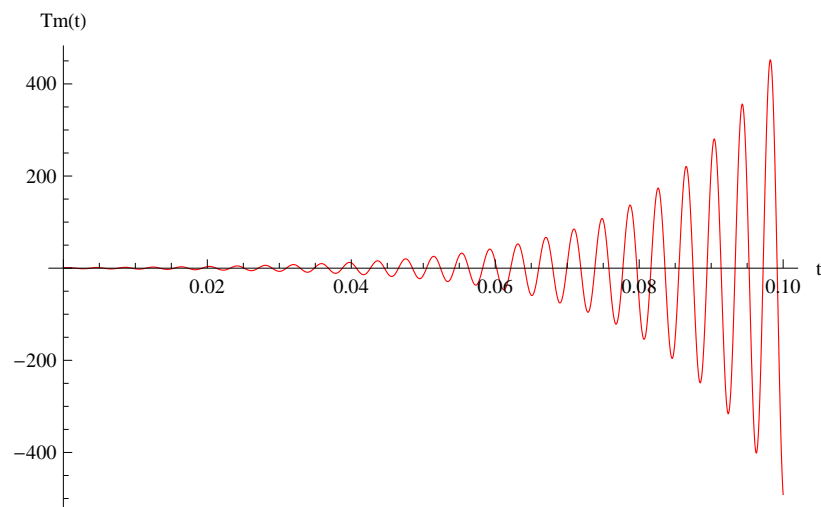


Рис. 3.6.8: График для $Tm(t)$ при $\tau = 0.001$, $\gamma = \frac{\pi}{2 \cdot 0.001}$, $m = 4$

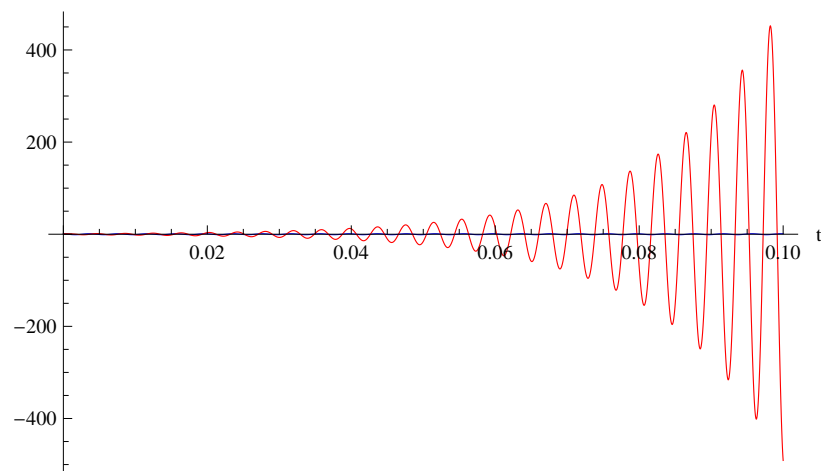


Рис. 3.6.9: Общий график при $\tau = 0.001$, $\gamma = \frac{\pi}{2 \cdot 0.001}$, $m = 4$

3.6.5 Приближение порядка $m = 5$

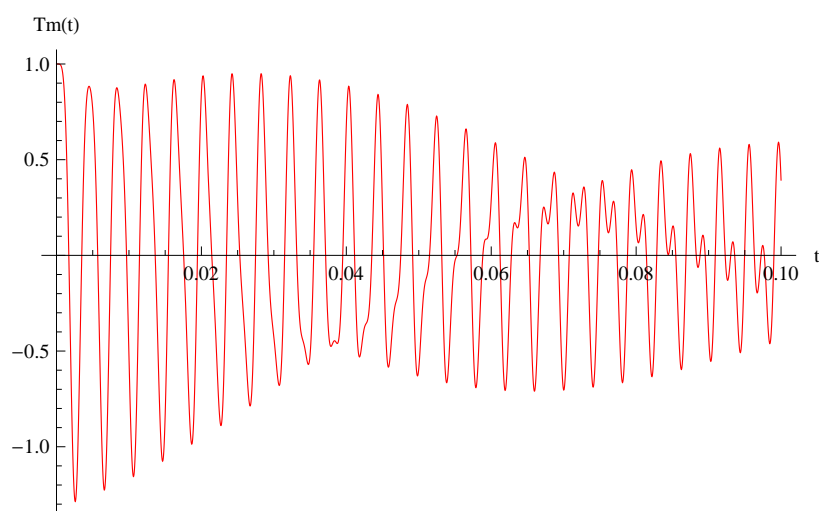


Рис. 3.6.10: График для $Tm(t)$ при $\tau = 0.001$, $\gamma = \frac{\pi}{2 \cdot 0.001}$, $m = 5$

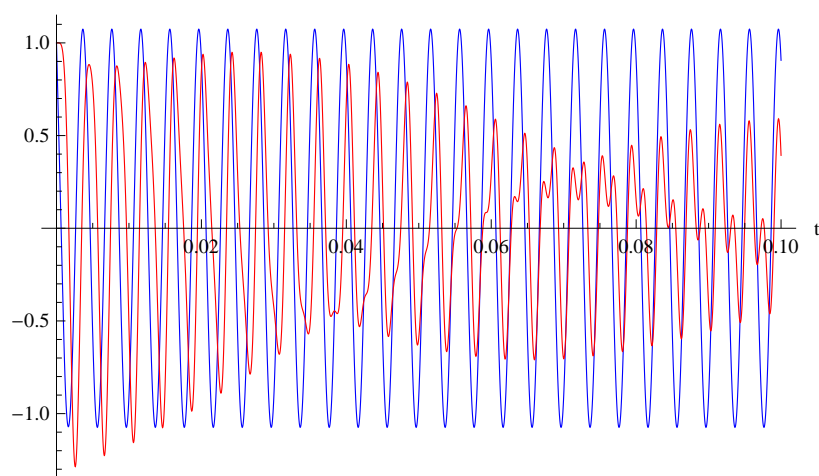


Рис. 3.6.11: Общий график при $\tau = 0.001$, $\gamma = \frac{\pi}{2 \cdot 0.001}$, $m = 5$

3.6.6 Приближение порядка $m = 6$

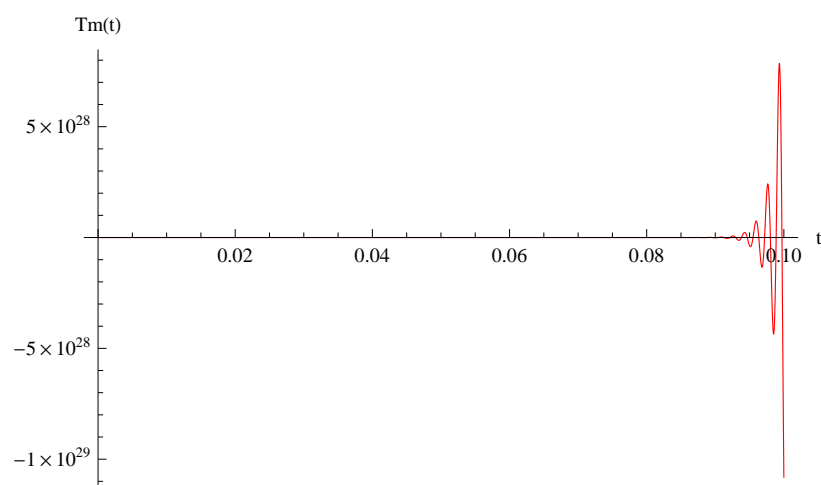


Рис. 3.6.12: График для $Tm(t)$ при $\tau = 0.001$, $\gamma = \frac{\pi}{2*0.001}$, $m = 6$

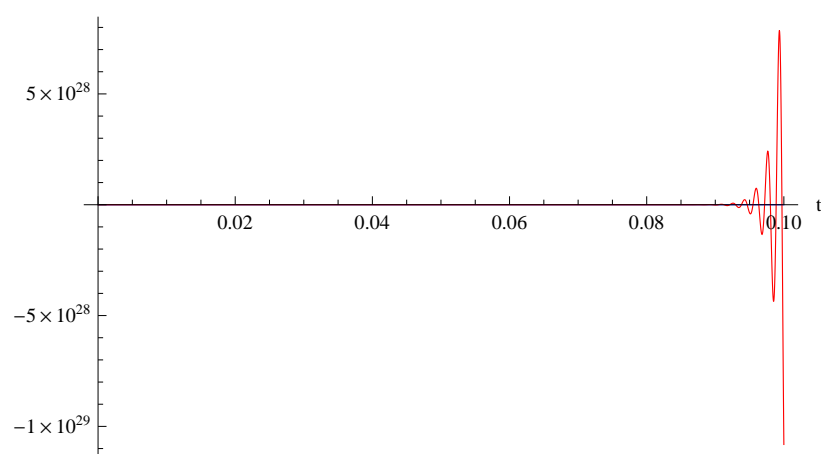


Рис. 3.6.13: Общий график при $\tau = 0.001$, $\gamma = \frac{\pi}{2*0.001}$, $m = 6$

4 Приложение математического моделирования для исследования экономических процессов

В экономической части настоящей работы будет рассмотрена ранняя **модель капитализации Калецкого (Kalecki)**. Данная модель – одно из первых распространенных приложений дифференциальных уравнений с запаздыванием. Впервые описание данной модели самим Калецким было представлено в работе [17].

4.1 Основное макроэкономическое тождество

Исходным допущением в модели Калецкого является выполнение **основного макроэкономического тождества**:

$$Y = C + I + A, \quad (4.1.1)$$

где

1. Y – совокупный доход (часто в его качестве рассматривается **валовый национальный продукт**(ВНП)),
2. $C = C_a + C_i$ – сумма интенсивностей автономного и индуцированного потребления,
3. $C_i = cY$ – индуцированное потребление (т.е часть расходов, обусловленная изменением уровня располагаемого дохода Y),
4. C_a – автономное потребление (т.е. часть расходов, постоянная вне зависимости от величины доходов Y),

5. $I = I_a + I_i$ – совокупные инвестиции,
6. $I_i = sY$ – индуцированные инвестиции,
7. I_a – автономные инвестиции,
8. $c + s = 1, c > 0, s > 0$.

Оно отражает равенство дохода и совокупных расходов (а значит, истинно только для замкнутой экономической системы).

4.2 Вывод дифференциального уравнения с запаздыванием

Пусть $K(t)$ – объем доступного капитала. Его динамику можно рассчитать следующим образом в силу запаздывания реакции системы на новый капитал:

$$K'(t + \tau) = asY(t) - bK(t) + \epsilon(t), \quad 0 < a < 1, b > 0, \quad (4.2.1)$$

$\epsilon(t)$ – невязка.

Инвестиции $I(t)$ – изменение доступного капитала в атомарный период времени:

$$I(t) \frac{1}{\tau} (K(t + \tau) - K(t)) \quad (4.2.2)$$

Далее

$$Y(t) = \underbrace{(1 - s)}_{C_a(t)C(t)} Y(t) + I(t) + A(t) \quad (4.2.3)$$

$$Y(t) = \frac{1}{s} (I(t) + A(t) + C_a(t)) \quad (4.2.4)$$

$$Y(t) = \frac{1}{s\tau} (K(t + \tau) - K(t)) + \frac{1}{s} (A(t) + C_a(t)) \quad (4.2.5)$$

Таким образом,

$$K'(t + \tau) = a \frac{1}{\tau} (K(t + \tau) - K(t)) + a (A(t) + C_a(t)) - bK(t) + \epsilon(t) \quad (4.2.6)$$

Наконец, перепишем уравнение в виде:

$$K'(t) - \frac{a}{\tau} K(t) + \left(\frac{a}{\tau} + b \right) K(t - \tau) = a(A(t - \tau) + C_a(t - \tau) + \epsilon(t - \tau)) \quad (4.2.7)$$

4.3 Устойчивость уравнения Калецкого

Для уравнения с запаздываниям

$$\dot{x}(t) + a_1 x(t) + b_1 x(t - \tau) = 0 \quad (4.3.1)$$

было получено необходимое условие его асимптотической устойчивости (см, например, [11], с.133):

$$0 \leq \tau \frac{\arccos \left(-\frac{a_1}{b_1} \right)}{\sqrt{b_1^2 - a_1^2}} \quad (4.3.2)$$

В терминах уравнения (4.2.7) получим:

$$0 \leq \tau < \frac{\tau \arccos \left(\frac{a}{a+b\tau} \right)}{\sqrt{b\tau(b\tau + 2a)}} \quad (4.3.3)$$

$$\arccos \left(\frac{a}{a+b\tau} \right) > \sqrt{b\tau(b\tau + 2a)} \quad (4.3.4)$$

Значения a , b , τ предполагаются известными, а значит, можно на основе проверки данного неравенства судить об устойчивости всей модели.

4.4 Пояснения

Устойчивость модели Калецкого и характер отражаемых ею колебательных процессов зависят от значения коэффициентов a , b в уравнении реакции системы. Коэффициент a выражает **реакцию инвестиционных решений на доход $Y(t)$** , b – **реакцию инвестиционных решений на запасы наличного основного капитала $K(t)$** . На основе статических данных на примере США на 1909-1918 гг. Калецкий провел пробную оценку значений коэффициентов a и b . Он определил, что $a = 0.95$, $b = 0.12$, причем $\tau = 1$ год. Также он произвел оценку для США 1929-1940 гг. и получил $a = 0.7$, $b = 0.12$ с тем же периодом конъюнктуры. Отметим, что в условиях кризиса параметр a обычно минимален, а в условиях роста экономики после рецессии достигает своих максимальных значений. Это свидетельствует о неготовности предпринимателей совершать крупные инвестиции в будущее во время кризиса, и, наоборот, – об инвестиционном буме молодой экономики, показатель ВВП которой возрастает.

4.5 Примеры применения модели для моделирования процессов макроэкономики

В данной части работы изобразим решения уравнений Калецкого в рассмотренных им случаях, приведенных в пояснении к модели [4.4].

Для простоты примем $A = 0$, $C_a = 10$, $\epsilon = 0$, $K(t) = 1$, $-\tau \leq t \leq 0$.

4.5.1 При $a = 0.95$, $b = 0.12$, $\tau = 1$

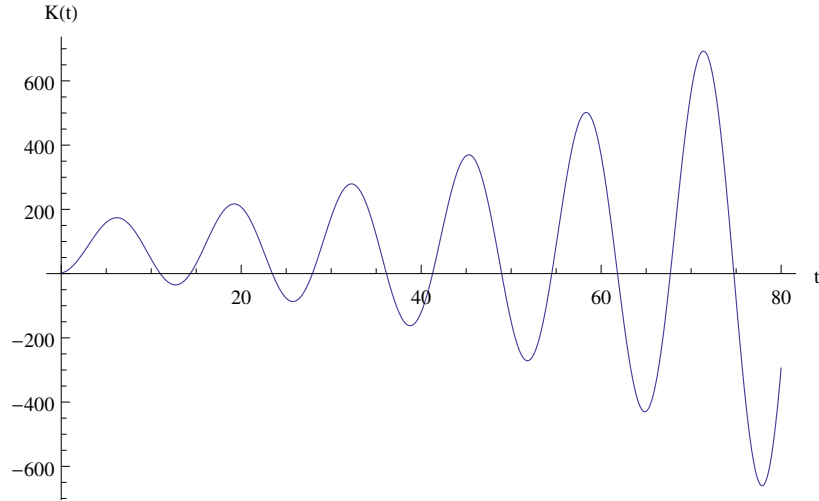


Рис. 4.5.1: График решения уравнения Калецкого при $a = 0.95$, $b = 0.12$, $\tau = 1$

$$\arccos\left(\frac{0.95}{0.95 + 0.12}\right) \approx 0.478144 \leq 0.492341 \approx \sqrt{0.12(0.12 + 2 \cdot 0.95)} \quad (4.5.1)$$

4.5.2 При $a = 0.7$, $b = 0.12$, $\tau = 1$

$$\arccos\left(\frac{0.7}{0.7 + 0.12}\right) \approx 0.547827 > 0.427083 \approx \sqrt{0.12(0.12 + 2 \cdot 0.7)} \quad (4.5.2)$$

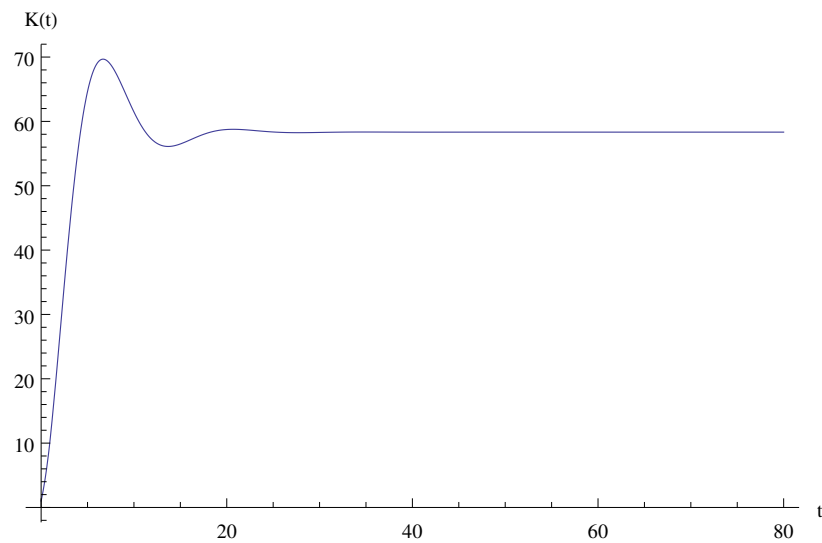


Рис. 4.5.2: График решения уравнения Калецкого при $a = 0.7$, $b = 0.12$, $\tau = 1$

4.6 Вывод

Таким образом, модель Калецкого описывает **процесс простого воспроизводства**, которому соответствуют либо колебания с возрастающей амплитудой, свидетельствующие о неустойчивости макроэкономике в исследуемый период, либо подавляемые колебания, соответствующие эмпирически установленному циклу хозяйственной конъюнктуры.

Заключение

В настоящей работе было рассмотрено дифференциальное уравнение теплопроводности с запаздыванием

$$\rho_t(\bar{x}, t) = -a^2 \Delta \rho(\bar{x}, t - \tau) + \rho(\bar{x}, t - \tau) \operatorname{div} \bar{V}(\bar{x}, t - \tau) + (\bar{V}(\bar{x}, t - \tau), \nabla \rho(\bar{x}, t - \tau)),$$

полученное из системы уравнения Лиувилля и закона Фурье с запаздыванием по времени:

$$\begin{cases} \rho_t(\bar{x}, t) + \operatorname{div} \bar{J}(\bar{x}, t) = f(\bar{x}, t), \\ \bar{J}(\bar{x}, t + \tau) = -a^2 \nabla \rho(\bar{x}, t) + \bar{V}(\bar{x}, t) \rho(\bar{x}, t). \end{cases}$$

В предположениях

1. одномерной задачи,
2. $\rho(x, t) = e^{\frac{V}{2a^2}x} u(x, t)$,
3. $\sum_{n=0}^m \frac{\partial^n f}{\partial t^n} \frac{\tau^n}{n!} = g(x, t) \equiv 0 \Leftarrow f(x, t) \equiv 0$,
4. $V = \text{const}$

задача была сведена к исследованию уравнения реакции-диффузии с запаздыванием

$$u_t(x, t) - a^2 u_{xx}(x, t - \tau) + \frac{V^2}{4a^2} u(x, t - \tau) = 0.$$

Для него были построены приближения

$$\sum_{n=0}^m \frac{\partial^{n+1} u}{\partial t^{n+1}} \frac{\tau^n}{n!} - a^2 \frac{\partial^2 u}{\partial x^2} + \frac{V^2}{4a^2} u = 0$$

и проверена устойчивость их решений:

1. при $m = 1$ – устойчиво при любых значениях параметров,
2. при $2 < m < 6$ – могут быть как устойчивы, так и нет в зависимости от γ и τ ,
3. при $m = 6$ – всегда неустойчивы.

Также на устойчивость было исследовано само уравнение реакции-диффузии путем разложения методом Фурье и получено неустойчивость его решений при любых значениях параметров.

Однако, решения вспомогательных одномерных уравнений с запаздыванием

$$\tau T'_k(t) + \gamma(k^2)T_k(t - \tau) = 0$$

могли иметь различный характер в зависимости от параметров: был доказано утверждение о том, что $\gamma\tau < 1$ – достаточное условие устойчивости, и на основании численного моделирования было сделано предположение, что $\gamma\tau < \frac{\pi}{2}$ – необходимое условие устойчивости.

Также был исследован вопрос о корректности постановок задач Коши для приближений и установлено, что естественный метод приравнивания начального условия к значению функции истории и её производных в начальной точке

$$T^{(k)}(t_0) = I^{(k)}(t)|_{t_0}$$

не всегда приводит к лучшему приближению.

Также было установлено, что рост m , вообще говоря, не приводит к улучшению приближения исходной задачи.

Просуммировав все вышеизложенное можно сделать вывод о том, что естественное приближение уравнений с отклонением аргумента (в частно-

сти, с запаздыванием) моделями обыкновенных дифференциальных уравнений представляют из себя нетривиальную задачу и должно быть исследовано индивидуально для каждой подобной поставленной задачи в силу непредсказуемости асимптотического поведения решений уравнений с запаздыванием.

Также стоит отметить, что подобные задачи все чаще появляются в приложениях различных дисциплин (как, например, модель Калецкого в экономике) и последующее развитие теории уравнений дифференциальных уравнений с отклоняющимся аргументом необходимо для дальнейшего продвижения подобных моделей во всех областях науки.

Список литературы

- [1] Васильева А.Б., О дифференциальных уравнениях, содержащих малые параметры, Матем. сб., 31(73):3, 1952, 587–644.
- [2] Васильева А.Б., Бутузов В.Ф., Асимптотические методы в теории сингулярных возмущений, М.: Высшая школа, 1990.
- [3] Ерофеев В.Т., Козловская И.С., Уравнения с частными производными и математические модели в экономике, М.: Едиториал УРСС, 2004.
- [4] Зверкин А.М., Каменский Г.А., Норкин С.Б., Эльсгольц Л.Э., Дифференциальные уравнения с отклоняющимся аргументом, УМН, 17:2(104), 1962, 77–164.
- [5] Красовский Н.Н., Некоторые задачи теории устойчивости движения, 1959.
- [6] Мышкис А.Д., Линейные дифференциальные уравнения с запаздывающим аргументом, Гостехиздат, М.–Л., 1951.
- [7] Мышкис А.Д., Эльсгольц Л.Э., Состояние и проблемы теории дифференциальных уравнений с отклоняющимся аргументом, УМН, 22:2(134), 1967, 21–57.
- [8] Пинни Э., Обыкновенные дифференциальные уравнения, М., ИЛ, 1961.
- [9] Тихонов А.Н., О зависимости решений дифференциальных уравнений от малого параметра, Мат.сб., 2 2(64), 1948, 193–204.
- [10] Тихонов А.Н., О системах дифференциальных уравнений, содержащих параметры, Мат.сб., 2 7(69), 1950, 147–156.

- [11] Эльсгольц Л.Э., Норкин С.Б. Введение в теорию дифференциальных уравнений с отклоняющимся аргументом, М., Наука, 1971.
- [12] Филиппов А. Ф., Сборник задач по дифференциальным уравнениям. Изд. 5-е, М.: Наука, 1979.
- [13] Bellman R., Danskin J.M, Glicksberg I., A bibliography of the theory and application of differential-difference, renewal and related functional equations, The Rand Corporation RM-688, 1952.
- [14] Bellman R., Danskin J.M, The stability theory of differential-difference equations, Proc. Sympos. non-linear Circuit Anal, New York , 1953, 107-123.
- [15] Friedman A. Hu B. The Stefan problem for a hyperbolic heat equation, Math. Anal. and Appl., V. 138, 1, 1989, 249–279.
- [16] Hahn W., Berichtuber Differential-Differenzengleichungen mit festen und Veranderlichen Spannen, Jahresber. Dtsch. Math.Ver.57,2, 1954, 55—84.
- [17] Kalecki M., An Essay on the Theory of the Business Cycle (Próba teorii koniunktury), Instytut Badania Koniunktur Gospodarczych i Cen, Warsaw, 1933.
- [18] Kolmanovskii V.B., Myshkis A.D., Introduction to the theory and Applications of Functional Differential Equations, Kluver, Dordrecht, 1999.
- [19] Mangano S., Mathematica Cookbook, O'Reilly Media, 2010.
- [20] Polyanin A.D., Zhurov A.I., A new method for constructing exact solutions to nonlinear delay partial differential equations, arXiv:1304.5473, 2013.
- [21] Wu J., Theory and Applications of Partial Functional Differential Equations, Springer-Verlag, New-York, 1996.